

روزن داران کفزی بزرگ پالتوسن بالایی - ائوسن پایینی در تتیس شرقی، ناحیه حرمک در شمال زاهدان

محمدنبی گرگیج*، سمیه شهرکی میرزایی

دانشگاه سیستان و بلوچستان، دانشکده علوم پایه، گروه زمین‌شناسی

پذیرش ۹۹/۱۲/۰۲

دریافت ۹۸/۰۴/۱۰

چکیده

روزن داران کفزی بزرگ در پالتوزن از گسترش خوبی برخوردار بوده‌اند، بر اساس بررسی سیستماتیک روزن داران کف-زی بزرگ ۱۲ جنس و ۲۴ گونه در فاصله زمانی پالتوسن بالایی- ائوسن پایینی شناسایی شده است، که شامل گونه‌های مختلفی از جنس‌های *Ranikothalia*، *Discocyclina*، *Miscellanites*، *Miscellanea*، *Kathina*، *Idalina*، *Vania Assilina*، *Glomalveolina*، *Daviesina* و *Lockhartia* است. قاعده بایوزون SBZ3 اولین حضور *Miscellanites*، *Miscellanites minutus*، *Miscellanea juliettae*، *Glomalveolina*، *Glomalveolina telemetensis*، *Glomalveolina primaeva*، *Vania anatolica*، *primitivus*، *Kathina selveri*، *Ranikothalia tubleri*، *Ranikothalia sindensis*، *Discocyclina seunesi*، *dachelensis*، *Ranikothalia* شناسایی می‌شود، با توجه به فراوانی زیاد و دامنه زیست‌چینه‌نگاری محدود گونه‌های فوق‌الذکر (به‌جز *Ranikothalia sindensis* و *Kathina selveri*) به‌عنوان شاخص بایوزون SBZ3 در نظر گرفته شده‌اند. قاعده بایوزون SBZ4 با ظهور اولیه *Miscellanea*، *Daviesins langhami*، *Discocyclina ranikotensis* در این میان گونه‌های *Ranikothalia sindensis*، *Daviesins langhami* و *Miscellanea miscella* فراوانی زیاد و گسترش خوبی دارد. شایان ذکر است گونه *Miscellanites primitivus* در برش بررسی شده تا SBZ5/6 گسترش دارد. بایوزون SBZ5/6 با ظهور اولیه گونه‌های شاخص *Ranikothalia nuttalli*، *Ranikothalia*، *Lockhartia haemei*، *Ranikothalia*، *Discocyclina sella* و *Discocyclina dispansa*، *Assilina dandotica* sp. بخش‌های عمده‌ای از حوضه تتیس شرقی از جمله تبت جنس *Daviesina* در بایوزون‌های مورد نظر ناپدید شده در صورتی که در برش بررسی شده فراوان است گونه *Alveolina vredenburgi* مشاهده نشده و *Miscellanea miscella* نسبت به بایوزون SBZ4 گسترش کم‌تری دارد. در برش بررسی شده، مجموعه روزن داران کفزی بزرگ اوایل ائوسن پیشین (SBZ5/6) غالباً شامل جنس‌های *Ranikothalia* و *Miscellanea* است در حالی که مجموعه روزن داران جدیدی که در این فاصله زمانی در مکان‌های دیگر ظاهر شده‌اند (مثل *Discocyclina*، *Assilina Alveolina*) اهمیت کم‌تری دارند و *Nummulites* وجود ندارند. در ادامه ائوسن پیشین، تنوع تدریجی در گونه‌های *Discocyclina*، *Operculina* و *Assilina* اتفاق افتاده در حالی که *Ranikothalia* ناپدید شده و *Miscellanea* در پایان بایوزون SBZ5/6 اهمیت کم‌تری دارد. مجموعه‌های مشابه‌ای از روزن داران کفزی بزرگ در قسمت‌های دیگر تتیس شرقی به ویژه هند و پاکستان به ثبت رسیده‌اند. از این رو این مجموعه‌ها در تتیس شرقی نسبت به تتیس غربی متفاوت هستند.

واژه‌های کلیدی: پالتوسن بالایی - ائوسن پایینی، زیست چینه‌نگاری، فرامینیفرهای بنتیک بزرگ، زمین‌درز سیستان، برش پدگی

*نویسنده مسئول mngorgij@science.usb.ac.ir

مقدمه

پالئوژن پایین یک دوره زمانی مهم برای تکامل و ساماندهی مجدد روزن‌داران کفزی بزرگ با استراتژی K پس از انقراض تقریباً کامل در مرز کرتاسه-پالئوژن است [۳۶]. روزن‌داران کفزی بزرگ از نقطه نظر سیستماتیک و چینه‌نگاری زیستی به‌طور گسترده بررسی شده است و تعدادی از زون‌بندی‌ها براساس پیدایش آنها ارائه شده‌اند. زون‌بندی این روزن‌داران در پالئوسن و ائوسن اقیانوس تئیس به‌وسیله سراکیل^۱ و همکاران (۱۹۹۸) معرفی شده است که براساس این پژوهش سری‌های پالئوسن و ائوسن به ۲۰ زون کفزی کم عمق (SBZ1-SBZ20) تقسیم‌بندی شده است. طرح زون‌بندی کفزی کم عمق بر اساس بررسی‌های روزن‌داران کفزی بزرگ از هوتینگر (۱۹۶۰) و هوتینگر و همکاران (۱۹۶۴) اسچوب (۱۹۸۱) و هوتینگر و دروبن (۱۹۸۸) در قلمرو دریایی کم عمق تئیس از جنوب سومالی تا جنوب شرقی شبه قاره هند قابل اجرا است (Hottinger 1971; Pignatti 1944; Jauhri 1998; Scheibner and Speijer 2008). در مورد چرخه تکاملی روزن‌داران کفزی بزرگ دارای استراتژی k پالئوژن دارای سه مرحله است: اولین مرحله (دانین تا سلاندین SBZ1-SBZ2) با تعداد اندکی از روزن‌داران کفزی مرز کرتاسه-پالئوژن آغاز شده که در این بازه زمانی افزایش ژنریکی آن را نشان می‌دهد. دومین مرحله (سلاندین تا تانسین SBZ3-SBZ4) یک بازسازی کلی از روزن‌داران کفزی بزرگ با یک گوناگونی از گونه‌های متعلق تا جنس‌های موفق رخ داده است. سومین مرحله (ایلردین پایین SBZ5/6) هم‌زمان با مرز پالئوسن-ائوسن و اولین سری از حادثه هیپرترمال پالئوژن پایین است و به‌عنوان آغاز پدیده دوشکلی بالغ و اندازه بزرگ پوسته‌ها در نظر گرفته شده است. پس از آن، برخی از پژوهش‌گران پیشنهاد کردند که رویداد برگشت روزن‌داران بزرگ با حادثه حداکثر حرارتی مرز پالئوسن-ائوسن هم‌خوانی لازم را ندارد و برقراری ارتباط سببی بین این دو نیاز به اطلاعات و بررسی‌های بیشتر دارد (Orue-Etxebarria et al. 2001; Pujalte et al. 2009; Scheibner and Speijer 2009).

در برش پدگی (همانند شمال هند و پاکستان = تئیس شرقی) روزن‌داران کفزی بزرگ پالئوسن بالایی-اوایل ائوسن پایین دارای اجتماعات جانوری غیرمعمول که آخرین نمونه‌های *Miscellanea* و *Ranikothalia* در پلتفرم‌های کربناته اوایل ائوسن پیشین غلبه پیدا کردند، در حالی که *Alveolina* اهمیت کم‌تری دارد و *Nummulites* مشاهده نشده‌اند (Scheibner and Speijer 2008a). همچنین در سایر بخش‌های تئیس (تئیس غربی) جنس‌های *Miscellanea* و *Ranikothalia* در بعد از مرز PE همراه با مجموعه‌های غنی از *Alveolina* و *Nummulites* یافت می‌شود. بررسی‌های اولیه در مورد روزن‌داران کفزی بزرگ در منطقه بررسی شده با تفاوت‌های جانوری بین تئیس غربی و تئیس شرقی در مرز پالئوسن-ائوسن را به رسمیت نمی‌شناسند یا توجه چندانی به آن ندارند. بنابراین، شفاف‌سازی توالی‌های رسمی از طریق فاصله مرزی پالئوسن-ائوسن در این منطقه برای هم‌بستگی منطقه‌ای و بین‌المللی حوادث مهم زمین‌شناسی (به‌عنوان مثال، حادثه حداکثر گرمایش مرز پالئوسن-ائوسن) بسیار مهم است. اکنون آشکار است که علی‌رغم برخی اختلافات فونی (Hottinger 1971; Scheibner & Speijer 2008a; Afzal et al. 2011).

1. Serra-Kiel

روزن داران کفزی بزرگ برش پدگی حاوی بسیاری از عناصر تتیس است (Hottinger 1960 ; Hottinger & Drobné 1988 ; Serra-Kiel et al. 1998 ; Scheibner et al. 2005 ; Scheibner & Speijer 2008a, 2009). در این پژوهش، در توصیف و تکامل جنس‌ها و گونه‌های روزن داران کفزی بزرگ روی مرحله دوم و سوم تمرکز می‌کنیم و هدف از انجام این پژوهش شناسایی روزن‌داران کفزی بزرگ، چینه‌نگاری زیستی و بررسی روند تکاملی آنها، تعیین وضعیت جغرافیای زیستی گذشته در مرز پالتوسن-اؤسن و مقایسه روزن‌داران تتیس شرقی و غربی است.

پیشینه بررسی‌ها

بررسی‌های فسیل‌شناسی پهنه زمیندرز سیستان به‌طور سیستماتیک به‌وسیله رحقی در گزارش چاپ شده به‌وسیله شرکت نفت ایران در سال ۱۹۸۳ انجام شده است. رئیس السادات و شکری (۱۳۸۹) به بررسی چینه‌نگاری نهشته‌های پالتوسن-اؤسن در منطقه‌ی بیرجند پرداخته‌اند. تجزیه پالتواکولوژی فرامینیفرای بنتیک بزرگ پالتوسن-اؤسن زیرین منطقه‌ی روبات در جنوب بیرجند به‌وسیله کارچانی و بابازاده (۱۳۸۹) انجام شده است. در زون نه‌بندان-خاش، تجزیه و تحلیل آماری انتشارفرامینیفرهای بنتیک بزرگ اؤسن زیرین در منطقه گرنگ، در شرق خور-غرب خوسف خراسان جنوبی، بابازاده و همکاران (۱۳۹۱) بررسی شده است. شاعری خیبری و همکاران (۱۳۹۱) بایوزوناسیون واحدهای کربناته پالتوژن ناودیس چینگرد (غرب بیرجند) بر مبنای فرامینیفرهای بنتیک بزرگ را بررسی کرده‌اند.

جایگاه زمین‌شناسی و چینه‌نگاری منطقه بررسی شده

محدوده بررسی شده در شمال زاهدان و زون زمیندرز سیستان در جنوب شرق ایران قرار دارد. این ناحیه به‌عنوان باریکه‌ای از اقیانوس تتیس در طی سانتونین-بالایی-اؤسن پایینی در بین بلوک‌های افغان در شرق و بلوک لوت در غرب تشکیل شده است (Stocklin 1968; Tirrul et al. 1983).

طی پالتوسن و اؤسن پایینی حوضه سیستان در عرض جغرافیایی بین ۲۵ تا ۳۰ درجه قرار داشته است (Hayet al. 1999). در آن زمان در این بخش از حوضه (برش پدگی) سنگ‌های کربناته و مارن‌های غنی از روزن‌داران کفزی-بزرگ در محیط‌های کم عمق دریای تتیس ته نشین شده است.

در ناحیه حریمک و در مجاور روستای پدگی دو برش چینه‌نگاری با ضخامت ۲۳۷/۵ متر (برش PE) و ۲۲۲/۵ متر (برش PEP) به‌طور عمده متشکل از سنگ‌های کربناته و مارن رخنمون دارد که برش PEP به‌صورت پیوسته بر روی سنگ‌های پیروکلاستیکی قرار گرفته و برش PE دارای مرز گسله است. مرز بالایی برش به‌صورت ناپیوسته به‌وسیله کنگلومرای منومیکتیک بعد از اؤسن پایینی پوشیده می‌شود [] (معزی نسب و همکاران ۱۳۹۷). برش‌های مذکور در حدود ۶۰ کیلومتری شمال زاهدان و در محدوده طول جغرافیایی $28^{\circ}05'2''$ و عرض جغرافیایی $31^{\circ}43'09''$ واقع شده‌اند (شکل‌های ۱ و ۲).

مراحل انجام پژوهش

برای انجام این پژوهش به‌منظور بررسی زمین‌شناسی عمومی و راه‌های دسترسی به منطقه بررسی شده، در ابتدا بررسی‌های کتابخانه‌ای انجام شد. با استفاده از اطلاعات منتشر شده قبلی مانند گزارش‌های ارائه شده به‌وسیله سازمان

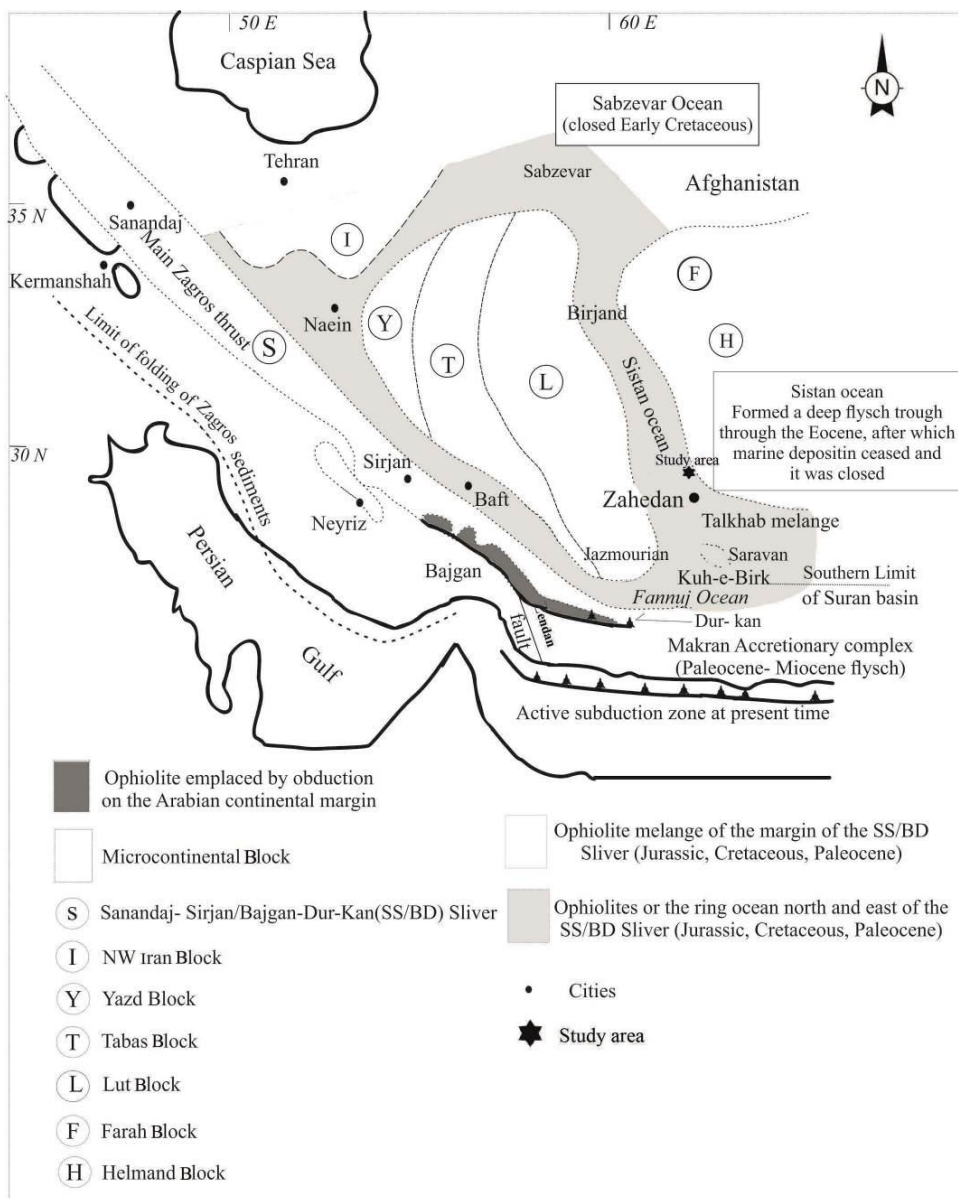
زمین‌شناسی و اکتشافات معدنی کشور، پایان نامه‌ها، نقشه‌های زمین‌شناسی، توپوگرافی، تصاویر ماهواره‌ای جمع‌آوری و بررسی شد و سپس بررسی‌های صحرایی و هم‌چنین نمونه‌برداری با استفاده از روش سیستماتیک و با فواصل معین از قاعده به سمت رأس در برش‌های بررسی شده انجام شد که از ۱۵۰ نمونه‌دستی برداشت شده بیش از ۶۰۰ مقطع نازک میکروسکوپی تهیه و سپس شناسایی و بررسی سیستماتیک اجتماعات روزن‌داران بر اساس طرح‌های بایوزوناسیون سراکیل و همکاران (Serra-kiel et al. 1998) و پاپازونی و همکاران (Papazoni et al. 2017) انجام شده است. برمبنای شناسایی جنس‌ها و گونه‌های مختلف روزن‌داران کفزی و تعیین افق‌های پیدایش، ناپدیدشدگی، دامنه‌ی زیست‌چینه‌نگاری آنها ترسیم و سن نسبی رسوبات پیشنهاد شد.

بایوزوناسیون روزن‌داران کفزی بزرگ پالتوسن - ائوسن در حوضه تتیس

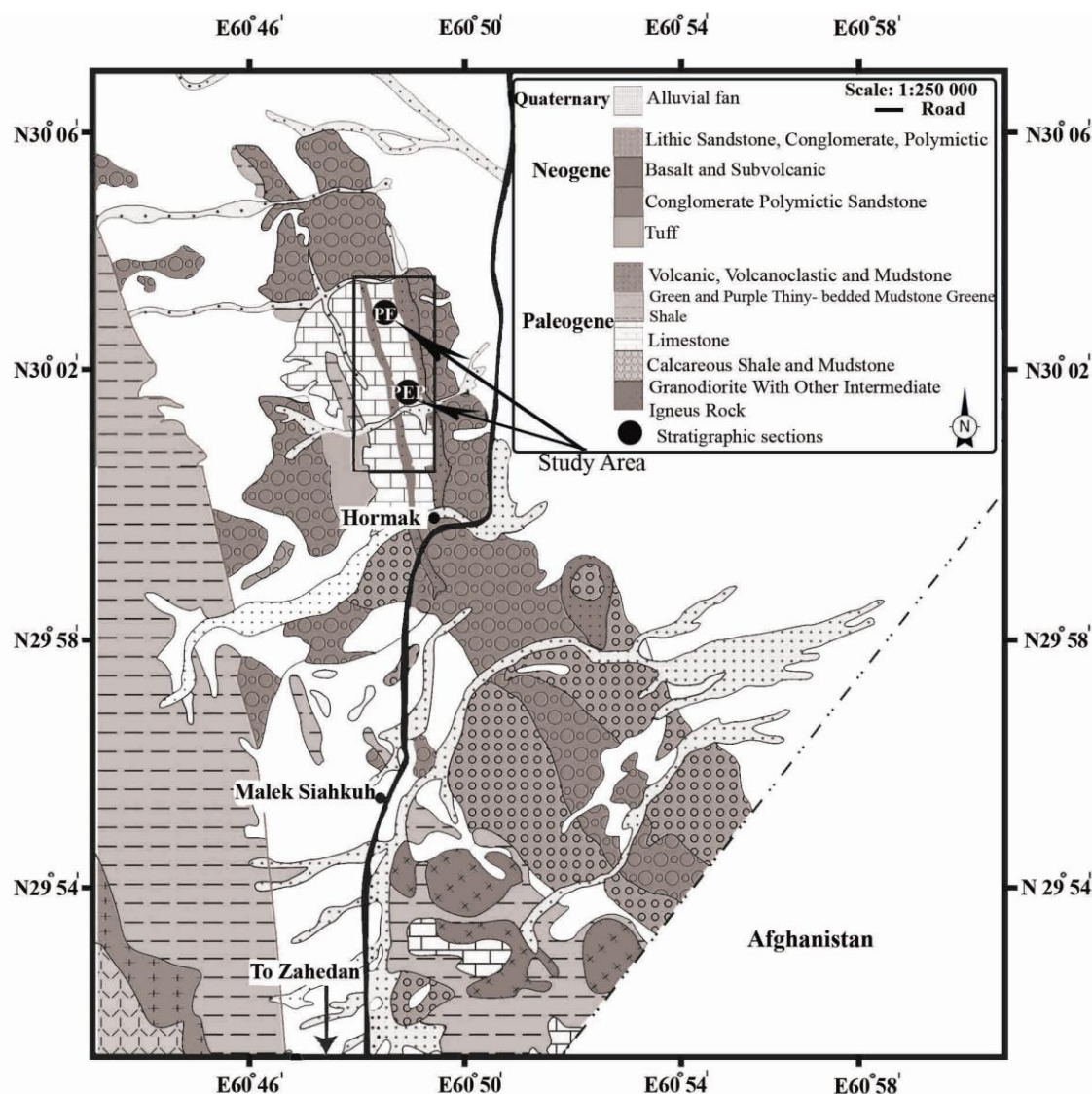
در اواخر دهه ۱۹۲۰، روزن‌داران کفزی بزرگ را به‌عنوان گروه فسیلی مهمی برای زیست‌چینه‌نگاری پالتوژن در ناحیه تتیس محسوب می‌شدند، و زوناسیون‌های زیست‌چینه‌نگاری ناحیه‌ای در بسیاری از نقاط دنیا برای مثال سکانس‌های پالتوژن شمال شرق هند (Jauhri and Agarwal 2001) سکانس‌های نئوژن ناحیه‌ای هند و اقیانوس آرام و BouDagher- (van der Vlerk and Umbgrove 1927; Chapronière 1984; Adams 1984;) و سنوزوئیک شمال عمان (Racey 1995) بر مبنای آنها انجام شده است. بررسی روندهای تکاملی و پخش و انتشار چینه‌نگاری اورتوگرامینیدها و آلوتولینیدها منجر شد تا سراکیل و همکاران (Serra-Kiel et al. 1998) و پاپازونی و همکاران (Papazoni et al. 2017) بیست‌زون کفزی-کم‌عمق (SBZ) پالتوسن - ائوسن را برای تتیس غربی ارائه کنند. به هر حال این زوناسیون‌های مربوط به تتیس غربی، اخیراً با بایوزون‌های تتیس شرقی (Zhang et al. 2013, 2018; Afzal et al. 2010;) ارتباط و انطباق داده شده، اما طرح تطابقی جامعی برای کل تتیس تاکنون ارائه نشده است. در ناحیه بررسی شده روزن‌داران کفزی بزرگ در بایوزون-های SBZ3 تا SBZ5/6 گسترش داشته که در شکل‌های ۳، ۴، ۵، ۶، ۷، ۸ و ۹ ارائه شده است. بایوزون‌های مورد نظر دارای مجموعه‌ای از روزن‌داران بزرگ هستند که در ذیل به طور کامل معرفی شده‌اند:

بایوزون SBZ3: قاعده بایوزون SBZ3 با اولین حضور *Miscellanites minutus*, *Miscellanea juliettae*, *Glomalveolina telemetensis*, *Glomalveolina primaeva*, *Vania anatolica*, *Miscellanites primitivus*, *Ranikothalia tubleri*, *Ranikothalia sindensis*, *Discocyclina seunsi*, *Glomalveolina dacheleensis* *Kathina selveri* شناسایی می‌شود، در این میان با توجه به فراوانی زیاد و دامنه زیست‌چینه‌نگاری محدود گونه‌های فوق‌الذکر به‌جز *Ranikothalia sindensis* و *Kathina selveri* به‌عنوان شاخص بایوزون SBZ3 در نظر گرفته شده‌اند (شکل‌های ۳، ۴، ۵، ۶).

بایوزون SBZ4: قاعده این بایوزون با اولین حضور *Daviesins langhami*, *Discocyclina ranikotensis* *Miscellanea miscella* شناسایی می‌شود در این میان گونه‌های *Daviesins*, *Ranikothalia sindensis* و *langhami* و *Miscellanea miscella* فراوانی گسترده‌ای دارد. شایان ذکر است گونه *Miscellanites primitivus* در برش بررسی شده تا SBZ5/6 گسترش دارد (شکل‌های ۳، ۴، ۶، ۷، ۸ و ۹).

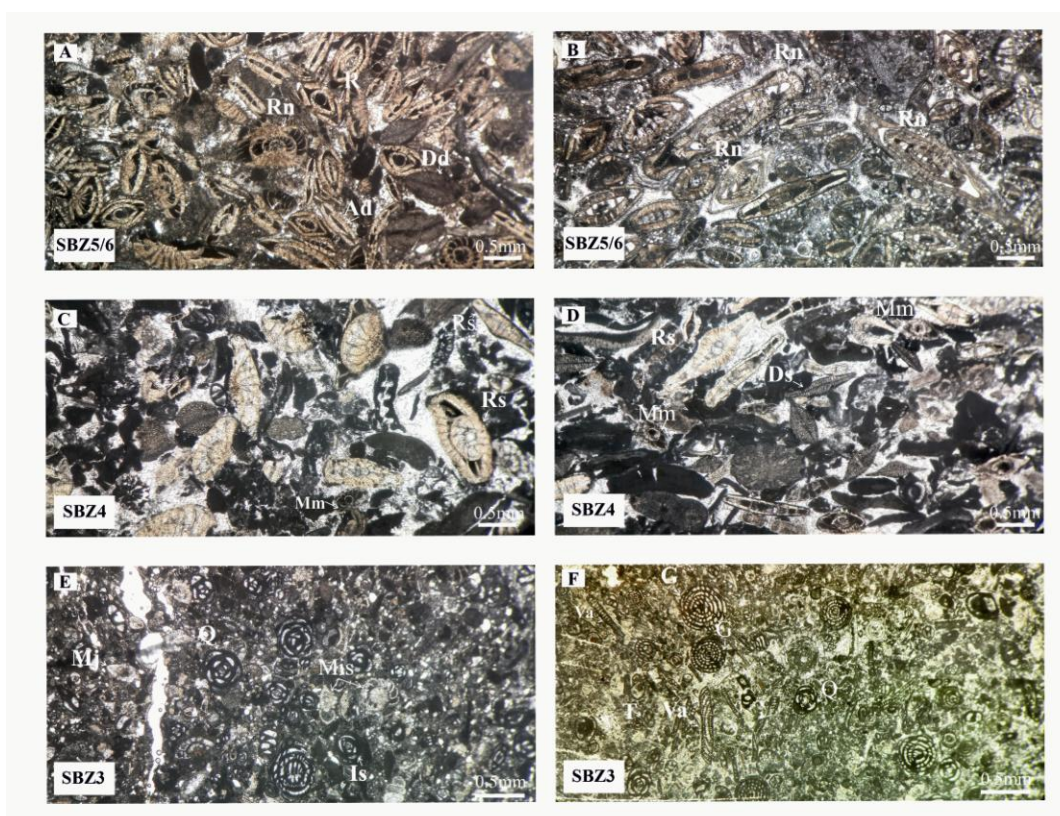


شکل ۱. واحدهای ژئوتکتونیک اصلی نواحی ایران جنوبی و مناطق مجاور: این نقشه مشخص کننده اقیانوس مزوزوئیک قدیمی داخلی که مبین بقایای افیولیتی اقیانوس‌های سبزوار، سیستان و فنوج و بسته شدن اقیانوس تنیس و زون فرورانش فعال مکران به سمت شمال در بخش جنوبی است (Sengor et al., 1988).



شکل ۲. نقشه زمین‌شناسی منطقه بررسی شده (برگرفته از نقشه زمین‌شناسی ۱:۲۵۰۰۰۰ زاهدان، افتخارنژاد (Eftekharneshad 1993) (با انجام اصلاحات)

بایوزون SBZ5/6: قاعده این بایوزون با اولین حضور *Ranikothalia nuttalli*, *Lockhartia haemei*, *Assilina dandotica*, *Ranikothalia sp.*، *Discocyclus sella* و *Discocyclus dispansa* شناسایی می‌شود که گونه‌های شاخص بایوزون SBZ5/6 هستند و گونه‌های *Ranikothalia nuttalli*، *Assilina dandotica* و *Ranikothalia sindensis* فراوانی گسترده‌ای دارند. راس بایوزون SBZ5 با کاهش و ناپدید شدن روزن‌داران کفزی بزرگ منفذدار لاملار از قبیل *Kathina*، *Lockhartia* شناسایی می‌شود. شایان ذکر است که در بخش‌های عمده‌ای از حوضه تبت شرقی از جمله تبت (Zhang et al. 2018) جنس *Daviesina* در بایوزون مورد نظر ناپدید شده در صورتی که در برش بررسی شده فراوانی زیادی دارد در حالی که گونه *Alveolina vredenburgi* مشاهده نشده و *Miscellanea miscella* نسبت به بایوزون SBZ4 گسترش کمتری دارد (شکل‌های ۳، ۴، ۶، ۷، ۸ و ۹).



شکل ۳. تصاویر میکروسکوپی مقاطع نازک که فسیل‌های غالب پالتوسن بالایی - ائوسن پایینی را در برش پدگی نشان می‌دهد. بایوزون‌های کفزی کم عمق (SBZ) از ژانگ و همکاران (Zhang et al. 2013) اقتباس شده است. (Rs) *Ranikothalia sindensis*, (Rn) *Ranikothalia nutalli*, (As) *Assilina dandotica*, (Mip) *Miscellanites primitivus*, (Mij) *Miscellanea juliettae*, (Mm) *Miscellanites miscella*, (G) *Glomalveolina*, (Dd) *Discocyclina dispansa*, (Is) *Idalina sinjarica*, (Q) *Quinqueloculina*.

روزن‌داران کفزی بزرگ پالتوسن بالایی

در پالتوسن بالایی (SBZ3 و SBZ4) روزن‌داران کفزی بزرگ، ریخت‌شناسی جدیدی را با افزایش تنوع ژنریکی نشان می‌دهند متعلق به خانواده‌های Miscellaneids (*Miscellanites* و *Miscellanea*) Alveolinids (*Discocyclina*) Discocyclinids (*Kathina* و *Lockhartia*، *Daviesina*) Rotallids (*Glomalveolina*) Nummulitids (*Ranikothalia*) هستند. قابل ذکر است که این الگوی فونی با سایر بخش‌های تتیس شرقی سازگار است (Hottinger 1997, 1998; Jauhri 1998; Serra-Kiel et al. 1998; Jauhri and Agarwal 2001; Jauhri et al. 2006; Green et al. 2008; Scheibner and Speijer 2008, 2009; Zamagni et al. 2008; Mathur et al. 2009; Tewari et al. 2010).

هوتینگر (Hottinger 2009) و لپیگ (Leppig 1998). گونه *Miscellanites juliettae* را شاخص محدوده بایوزون SBZ3 معرفی کرده‌اند. گونه مذکور همراه با *Vania anatolica*. *Miscellanites yevetae*

Leppig 1988; Racey 1995;) است (early Thanetian) SBZ3 نشان‌دهنده بایوزون Miscellanites minutus (Serra-Kiel et al. 1998; Cherchi and Schroeder 1997; Hottinger 2009;

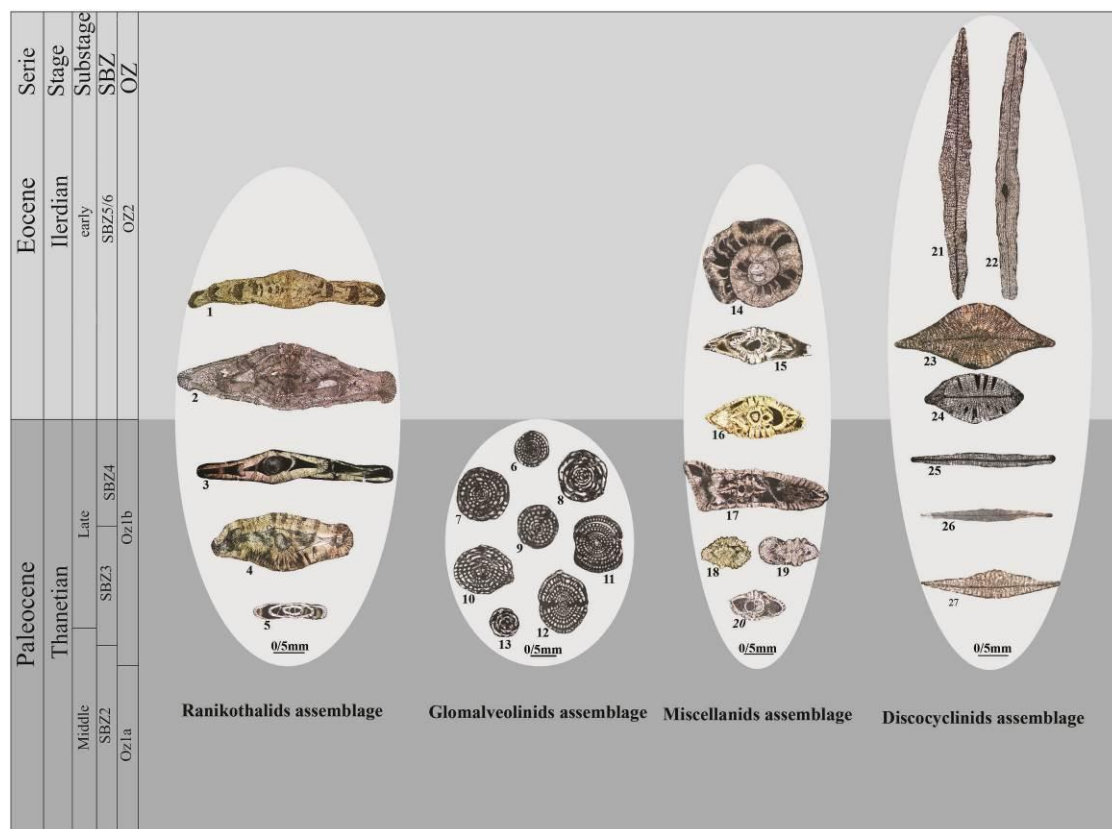
در برش بررسی شده گونه مورد نظر همراه با *Vania anatolica*، *Ranikothalia tubleri*، *sindensis*، *Ranikothalia tubleri* و *Glomalveolina primaeva* بوده است که محدوده بایوزون SBZ3 را نشان می‌دهد (شکل‌های ۳، ۴، ۵ و ۸).

گونه *Miscellanites primitivus* در نارپ (Narp) در محل تیپ بایوزون SBZ3 در آکیتاین (جنوب غربی فرانسه) یافت شده است. این نمونه در Apulian Domain در سواحل پالئوسن اقیانوس اطلس در جنوب غربی فرانسه شناسایی شده است و به نظر می‌رسد دامنه آن محدود به بایوزون SBZ3 باشد (Hottinger 2009). در برش بررسی شده *Miscellanites primitivus* با گونه‌های کلیدی SBZ3 مانند *Glomalveolina primaeva*، *Miscellanea juliettae*، *Miscellanites minutus*، *Vania anatolica*، *Discocyclus ranikothensis*، *Kathina selveri*، *Daviesina langhami*، *Miscellanites miscella*، *SBZ4* مانند می‌شود (شکل‌های ۳، ۴، ۵ و ۸). این مجموعه روزن‌دار سن تانسین بالایی را پیشنهاد می‌کند.

با توجه به پژوهش‌های هوتینگر (Hottinger 2009) گونه *Miscellanites minutus* تنها از چند مکان در ایران شناسایی شده است. در برش بررسی شده برای اولین بار گونه مورد نظر همراه با گونه‌های شاخص بایوزون SBZ3 مانند *Glomalveolina primaeva*، *Vania anatolica*، *Miscellanea juliettae* با محدوده سنی پالئوسن بالایی شناسایی شده است (شکل‌های ۳، ۴، ۵ و ۸).

Vania anatolica از نظر توزیع جغرافیای زیستی گذشته و دامنه‌چینه‌نگاری در غرب سفالونیا، جزایر لونیین (Accordi et al. 1999)، ترکیه مرکزی با *Glomalveolina primaeva* (Richel 1936) و *Miscellanea juliettae* (Sirel 1998) در دیناریدس (Drobne and Hottinger 1971)، ایران (Rahaghi 1978)، مصر با *Glomalveolina primaeva*، *Miscellanea meandrina*، *Fallotella kochanskae persica* (Bandel and Kuss 1987) همراه *Glomalveolina telemetensis* و *Glomalveolina cf. lepidula*، *Hottingerina lukasi*، *Operculina azilensis*، *Orbitolites sp.*، *Dictyokathina simplex*، *Vania anatolica* همراه با *Miscellanites primitivus*، *Miscellanites minutus*، *Glomalveolina primaeva*، *Glomalveolina dachelensis*، *Glomalveolina telemetensis*، *Idalina sinjarica* بایوزون SBZ3 است (شکل‌های ۳، ۴، ۵ و ۷).

دامنه چینه‌نگاری زیستی *Kathina selveri* براساس توالی فونای همراه، که محدود به بایوزون‌های SBZ3-SBZ4 است، با نمونه‌های یافت شده و پژوهش‌های انجام شده در اسلوونی (Özgen and Akyazi 2001) و ترکیه (Özgen-Erdem et al. 2005; Inan et al. 2005) همخوانی دارد. *Discocyclus seunesi* در برش-پدگی همراه با گونه‌های *Discocyclus ranikotensis*، *Vania anatolica*، *Miscellanea juliettae*، *Glomalveolina primaeva* دیده می‌شود که مبین بایوزون SBZ3 و SBZ4 است (شکل‌های ۳، ۴، ۵ و ۹).



شکل ۴. اجتماع چهارگانه روزن‌داران کفزی بزرگ در مرز پالتوسن-ائوسن در برش پدگی

Ranikothalids assemblage :1-2- *Ranikothalia nutlli*; 3- *Ranikothalia sindensis*; 4- *Ranikothalia sahani*; 5- *Ranikothalia tubleri*)

Glomalveolinids assemblage :6-7-11- *Glomalveolina telemetensis*; 9- *Glomalveolina* sp.; 12- *Glomalveolina primaeva*; 8-13- *Glomalveolina dachelensis*)

Miscellanids assemblage :14-15-16- *Miscellanea miscella*; 17- *Daviesina langhami*; 20- *M. juliettae*; 18- *Miscellanites minutus*; 19- *Miscellanites primitivus*)

Discocyclinids assemblage :21-22- *Discocyclina sella*; 23-24- *Discocyclina dispansa*; 25-26- *Discocyclina ranikotensis*; 27- *Discocyclina seunesi*)

هوتینگر (Hottinger 1960)، سراکیل و همکاران (Serra-kiel et al. 1998)، پیگناتی و همکاران (Pignatti et al. 2008) و اسپیجر (Scheibner and Speijer 2009) گونه *Glomalveolina primaeva* را از محدوده بایوزون SBZ3 گزارش کرده‌اند. به‌همین ترتیب (Jauhri and Agarwal 2001) *Glomalveolina levis* (= بایوزون SBZ4) دارای محدوده بایوزون SBZ4 و در شمال‌غربی هند، وایت (White 1992) محدوده‌ی بایوزون SBZ3-SBZ6 را در عمان ثبت کرده‌اند. *Glomalveolina primaeva* از سرتاسر حوضه مدیترانه و پیرنه، جنوب اسپانیا، حوضه پریبئیک ایتالیا، اسلونی، بوسنی، کرواسی، سیسیل، لیبی و مصر شناسایی شده است. این گونه در حوضه آلپ شمالی، کارپاتین و زاگرس دیده شده است؛ Hottinger 1974؛ *Glomalveolina primaeva* (Sirel 1976; 1998, 2008) هم‌چنین از چندین نقطه در بخش مرکزی و شرقی ترکیه نیز به ثبت رسیده است، آکوردی و همکاران (Accordi 1999) گونه مذکور را از غرب سفالونیا گزارش کرده‌اند.

در برش‌های بررسی شده نمونه‌های مربوط به زیرگونه *Glomalveolina ludwigi*، *Glomalveolina primaeva* شناسایی شده است که همراه با گونه‌های *Idalina sinjarica*، *Vania anatolica*، *Miscellanites primitivus* و *Daviesina langhami* مبین بایوزون‌های SBZ3 تا SBZ4 است (شکل‌های ۳، ۵ و ۷). گونه‌های *Glomalveolina dachelensis*، *Glomalveolina telemetensis* و *Glomalveolina primaeva* در برش چینه‌نگاری پدگی مبین بایوزون‌های SBZ3 تا SBZ4 است که به نظر می‌رسد افق ظهور اولیه آنها در بایوزون SBZ3 و انقراض نهایی آنها در راس SBZ4 باشد (Hottinger 1960; Serra-Kiel et al. 1998) که نشان‌دهنده سن راس پالئوسن بالایی (Late Thanetian) است (شکل‌های ۳، ۵ و ۷).

Daviesina langhami در سنگ آهک لوخارت پاکستان محدوده بایوزون SBZ3 (Hottinger 2014) و در تبت محدوده بایوزون SBZ4 (Zhang et al. 2013) را نشان می‌دهد. در برش پدگی گونه مذکور همراه با *Discocyclina ranikotensis*، *Ranikothalia sahani*، *Ranikothalia sindensis* و *Kathina selveri*، *Miscellanea miscella* که محدوده بایوزون SBZ4 نشان داده و مبین سن پالئوسن بالایی است (شکل‌های ۴، ۶ و ۸). بر اساس بررسی سراسری و همکاران (Serra-Kiel 1998)، *Ranikothalia sindensis* ابتدا در قاعده بایوزون SBZ4 در تتیس ظاهر شده است. توسگونلا و همکاران (Tosquella 1998) بیان کردند که *Ranikothalia sindensis* در حوضه بریتانیا و فرانسه محدود به بایوزون SBZ3 است. در عمان، هند و پاکستان *Ranikothalia sindensis* از پالئوسن بالایی-ئوسن پایینی گزارش شده است (Nagappa 1959; Butt 1991; Racey 1995). در برش پدگی ظهور *Ranikothalia sindensis* همراه با *Ranikothalia sahani*، *Miscellanea juliettae*، *Discocyclina ranikotensis* و *Assillina dandotica* دامنه چینه‌نگاری SBZ3 تا SBZ5 را نشان می‌دهد (شکل‌های ۳، ۴، ۵، ۶ و ۸).

Discocyclina ranikotensis اولین بار در برش‌های بررسی شده (PEP, PE) در SBZ4 ظاهر شده است (شکل‌های ۴، ۶ و ۸)، در پاکستان، هندوستان و سایر نقاط، از پالئوسن بالایی تا ائوسن پایینی گسترش داشته است (Nagappa 1959; Samanta 1969; Butt 1991; Weiss 1993; Akhtar and Butt 1999, 2000). به نظر می‌رسد این گونه در پالئوسن هندوستان (تتیس شرقی) به شدت گسترش داشته، زیرا در پلتفرم‌های کربناته تتیس غربی از پالئوسن بالایی گزارش نشده است (Samanta 1969; Adams 1970; Serra-Kiel et al. 1998; Less et al. 2007). *Ranikothalia tubleri* شاخص بایوزون SBZ3 و دارای سن پالئوسن میانی است. در برش پدگی با مجموعه روزن‌داران *Glomalveolina primaeva*، *Miscellanea juliettae* و *Vania anatolica* دیده می‌شود که بیان‌کننده این بایوزون است.

Idalina sinjarica برای اولین بار به وسیله گریمسدل (Grimsdale 1952) از سازند سینجار، در شمال عراق به همراه *Glomalveolina primaeva*، *Miscellanea miscella* و *Saudia layirinthica* گزارش شده است. در برش بررسی شده گونه مورد نظر همراه با *Miscellanites primitivus*، *Miscellanites minutus*، *Glomalveolina primaeva*، *Glomalveolina telemetensis*، *Idalina sinjarica* و *Glomalveolina dachelensis* و *Vania anatolica* یافت می‌شود که دامنه چینه‌نگاری بایوزون‌های SBZ3 تا SBZ6 را نشان می‌دهد. بنابر گزارش سراسری و همکاران (Serra-Kiel et al. 1998)، *Idalina sinjarica* محدود به بایوزون‌های SBZ3 تا SBZ6 می‌شود. با این حال اولین ظهور آن، همراه با جلبک مرجانی *Distichoplax biserialis* بیانگر سلاندین به

بعد (Aguirre et al. 2007) و وجود نداشتن نشانه‌های بایوزونی برای بایوزون SBZ3 در برخی از مناطق (Afzal et al. 2010) نشان‌دهنده ظهور اولیه *Idalina sinjarica* در SBZ2 است. دروین و همکاران (Drobne 2002) هم‌چنین ظهور اولیه این گونه را از SBZ2 در نواحی هند-آرام، تتیس و کارائیب گزارش کرده‌اند.

در توالی‌های پلتفرمی تتیس (شامل پاکستان و هند) دامنه زیست‌چینه‌نگاری *Lockhartia haimei* بایوزون‌های SBZ3 تا SBZ4 ثبت شده است (Butt 1991; Weiss 1993; Serra-Kiel et al. 1998; Akhtar and Mathur et al. 2009; Jauhri and Agarwal 2001; Butt 1999). به هر حال در پاکستان، برش زرندها، *Lockhartia haimei* همراه با *Lockhartia conditi*، *Alveolina* sp.، *Discocyclus*، *Assillina dandotica*، *Ranikothalia nuttalli* و *Ranikothalia sindensis* دیده می‌شود که از نظر چینه‌نگاری بالاترین افق پیدایش را در درون بایوزون‌های SBZ5/6 پیشنهاد می‌کند (Afzal et al. 2010) (شکل‌های ۶ و ۸). به‌طور مشابه باترلین و فورکاد (Butterlin and Fourcade 1989) دامنه زیست‌چینه‌نگاری طولانی‌تری برای دو گونه *Lockhartia conditi* و *Lockhartia haimei* گزارش کرده‌اند که بالاترین افق پیدایش نهایی را در ائوسن پایینی تا میانی را نشان می‌دهد. در برش بررسی شده *Lockhartia haimei* با *Discocyclus*، *Discocyclus*، *Assillina dandotica*، *Ranikothalia nuttalli*، *Ranikothalia sindensis* و *Ranikothalia sahani* همراه است که محدوده بایوزون SBZ5/6 را بیان می‌کند. *Lockhartia conditi* در برش مذکور دارای دامنه سنی تانسین بالایی (SBZ3-4) است (شکل‌های ۶ و ۷).

روزن‌داران کفزی بزرگ ائوسن پایینی

شناسایی مرز پالتوسن-ائوسن بر اساس روزن‌داران کفزی بزرگ (LBFها) یکی از موضوعات جالب توجه است که به‌طور گسترده مورد بحث و بررسی قرار گرفته است (Scheibner and Speijer 2009; Pujalte et al. 2009). برگشت مجدد روزن‌داران کفزی بزرگ ¹LFT در این مرز به خوبی شناسایی شده، و هم‌زمان با حادثه حداکثر گرمایش مرز پالتوسن-ائوسن، انحراف منفی ایزوتوپ کربن با ظهور جنس‌های *Nummulites*، *Orbitolites* و *Alveolina* (Orue-Etxebarria et al. 2001) قابل انطباق است (Scheibner and Speijer 2009; Pujalte et al. 2009).

این اختلال جهانی چرخه کربن به لحاظ ورود سریع کربن سبک به سیستم اقیانوس-اتمسفر، احتمالاً مربوط به انحلال عظیم هیدرات‌های متان دریایی است، اگر چه مکانیزم پیشنهادی هنوز مورد بحث است (Dickens et al. 2007; Sluijs et al. 2006; Pagani et al. 2005; Cramer and Kent 2005; Kutz et al. 1997).

رویداد انقراض روزن‌داران کفزی شناخته شده (BEE¹) (Pak and Miller 1992)، منجر به انقراض تقریباً ۴۰٪ از روزن‌داران کفزی کوچک‌تر در قسمت‌های عمیق‌تر دریا شد. در زمین، تغییرات عمده در جوامع گیاهی و مهره-داران زمینی در واکنش به افزایش CO₂ اتمسفر رخ داده است (Harrington and Jaramillo. 2007).

حادثه انحراف منفی ایزوتوپ کربن به دلیل وقوع رویداد حداکثر گرمایش مرز پالتوسن-ائوسن، قابل انطباق با مرز بین بایوزون‌های روزن‌داران پلاژیک P5 و E1 و بایوزون نانوپلانکتونیک NP9a و NP9b است (Berggren and Pearson 2005; Aubry et al 1999). در توالی‌های دریایی کم‌عمق مرز بین بایوزون SBZ4 و SBZ5

1. Large Foraminifera Turnover
2. Benthic Extinction Event

(Serra-Kiel et al. 1998) هم‌زمان با شروع انحراف منفی ایزوتوپ کربن است و مبین مرز پالئوسن-اؤسن است (Orue-Etxebarria et al. 2001; Pujalte et al. 2003; Pujalte et al. 2009a; Scheibner and Speijer 2009). در این تحقیق با توجه به بررسی توالی‌های دریایی کم عمق و حضور روزن‌داران کفزی‌بزرگ بر مبنای بایوزون‌های ارائه شده به‌وسیله سراکیل و همکاران (Serra-Kiel et al. 1998) به معرفی این بایوزون‌ها و اجتماعات روزن‌داران آنها پرداخته شده است. *Ranikothalia nuttalli* از بایوزون SBZ4 مصر گزارش شده است (Scheibner and Speijer 2009). با این حال این گونه در هند، پاکستان، تبت و تبت شرقی و برش بررسی شده محدود به بایوزون SBZ5/SBZ6 است (Jauhri 1998; Jauhri and Agarwal 2001; Jauhri et al. 2006; Zhang et al. 2013, 2018).

به گفته سراکیل و همکاران (Serra-Kiel et al. 1998)، *Ranikothalia nuttalli* دارای محدوده بایوزون SBZ5-SBZ6 در پلتفرم تبت است. *Miscellanea miscella* در افغانستان (Kaeffer 1970)، شمال شرقی ترکیه (Sirel 1997)، ایران (Rahaghi 1983) و هند (Jauhri et al. 2000; Jauhri 1998; Jauhri and Agarwal 2001) گونه مذکور در ساکاریا ترکیه (Sirel et al. 2018) همراه با *Alveolina sakaryaensis*, *Alveolina polatliensis*, *Ranikothalia daviesi*, *Ranikothalia couisensis*, *Alveolina rotundata*, *Alveolina decipiens*، که مبین سن ایلردین میانی-بالایی است. در برش بررسی شده گونه مذکور همراه با *Assilina dandotica*, *Discocyclina dispansa*, *Discocyclina sella*, *Lockhartia haimeii* مبین بایوزون SBZ5/6 است (شکل‌های ۳، ۴، ۶ و ۹).

بر مبنای کار مطالعاتی سراکیل و همکاران (Serra-Kiel et al. 1998) در قلمرو تبت، *Assilina dandotica* به بایوزون SBZ5 محدود می‌شود، با این حال توسگوئلا و همکارانش (Tosguella et al. 1998) ثابت کردند که *Assilina dandotica* در بایوزون SBZ6 هم گسترش دارد. بنابراین آخرین ظهور *Assilina dandotica* همراه با *Ranikothalia nuttalli* در توالی بررسی شده (PEP) در مرز بالایی بایوزون SBZ5/SBZ6 قرار دارد. سراکیل و همکاران (Serra-Kiel et al. 1998)، *Ranikothalia sindensis* را به بایوزون SBZ5 در عمان نسبت داده‌اند در حالی که در توالی بررسی شده آخرین حضور *Ranikothalia sindensis* و *Ranikothalia sahani* در بایوزون‌های SBZ5/SBZ6 قرار می‌گیرند.

در حوضه ایندوس در پاکستان (Butt 1991; Akhtar and Butt 1999, 2000; Afzal et al. 2010) و منطقه بررسی شده اولین ظهورگونه *Discocyclina dispansa* و *Discocyclina sella* با روزن‌داران کفزی‌بزرگ اوایل اؤسن پایینی همانند *Assilina dandotica*, *Ranikothalia nuttalli* دیده می‌شود که مبین بایوزون‌های SBZ6 / SBZ5 است در حالی که در سایر بخش‌های قلمرو تبت از لوتسین تا بارتونین (Huang et al. 2013) گزارش شده است.

برگشت مجدد و چرخش جوامع روزن‌داران کفزی‌بزرگ با تنوع گونه‌ای و راهبرد K (تولید مثل کم، طول عمر زیاد و شرایط پایدار الیگوتروفیک) در بایوزون‌های SBZ5/SBZ6 اثبات شده است (Hottinger 1997, 2001). با این حال مجموعه‌هایی از روزن‌داران کفزی‌بزرگ که در پایین‌ترین بخش اؤسن (بایوزون‌های SBZ5/SBZ6) قرار دارند، تحت غلبه جنس‌های *Discocyclina*, *Miscellanea* و *Ranikothalia* بوده است، در حالی که روزن‌داران کفزی-بزرگ جدید که در این فاصله زمانی در دیگر نقاط (*Assilina Alveolina*) ظاهر شدند کم‌تر اهمیت داشته و جنس *Nummulites* وجود ندارد.

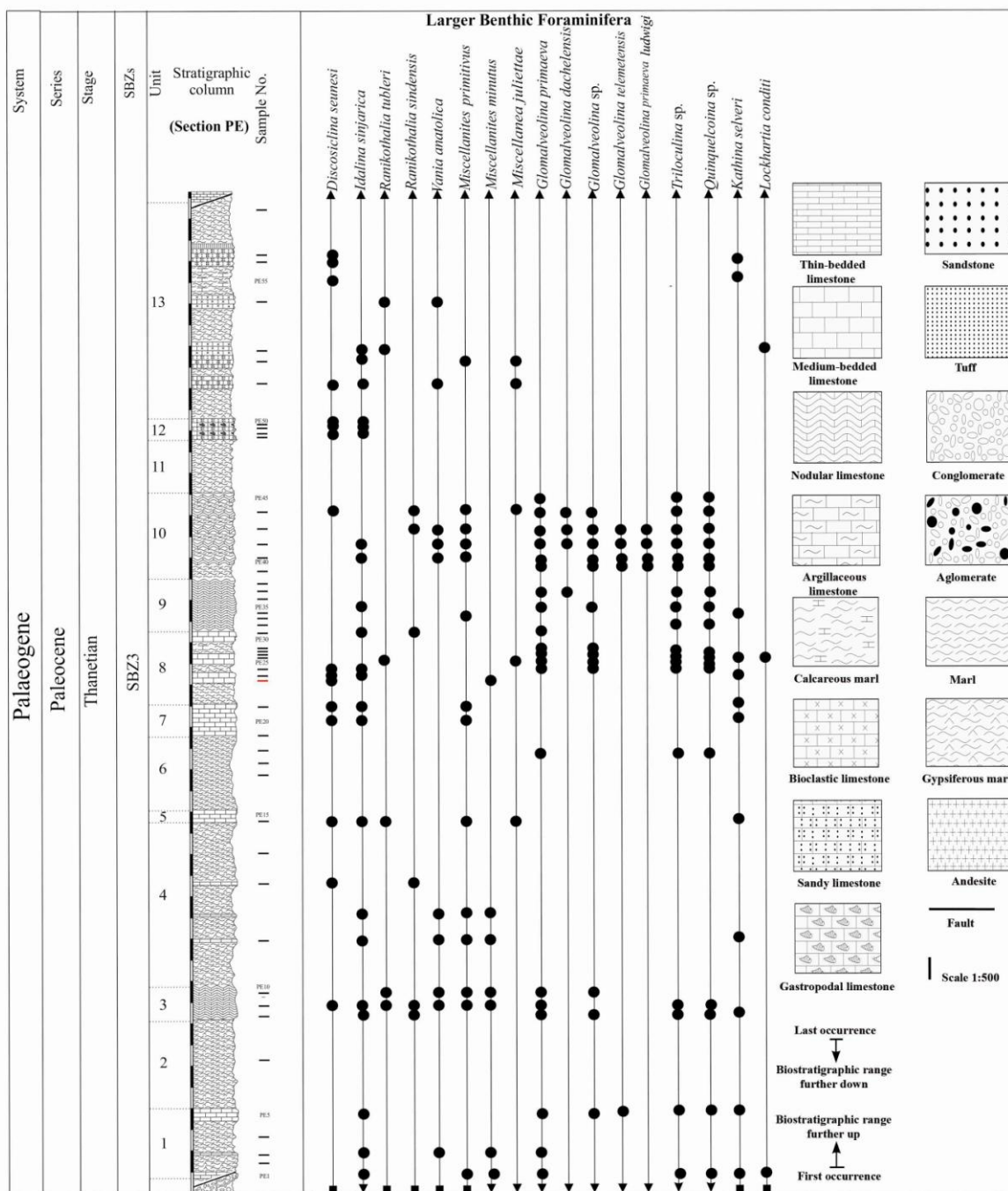
چینه‌نگاری زیستی روزن‌داران کفزی بزرگ در برش بررسی شده

روزن‌داران کفزی بزرگ پالتوسن بالایی- ائوسن پایینی شناسایی شده در این پژوهش متعلق به بایوزون‌های SBZ3 تا SBZ6 هستند، این بایوزون‌ها بر اساس یک یا چند فسیل شاخص و اولین و آخرین حضور روزن‌داران- کفزی بزرگ شناسایی می‌شوند. اولین حضور گونه *Idalina sinjarica* (شکل‌های ۴ و ۶) در بایوزون SBZ2 بوده است که در توالی‌های بررسی شده با توجه به فسیل‌های همراه، بایوزون SBZ3 را نشان می‌دهد. محدوده بایوزون SBZ3 با ظهور روزن‌داران کفزی بزرگ شاخص مثل *Miscellanea juliettae*، *Miscellanites*، *Vania anatolica*، *Glomalveolina dachelensis* و *Glomalveolina primaeva*، *primitivus* *Miscellanites*، *minutus* (شکل‌های ۳، ۴، ۶ و ۷). روزن‌داران کفزی بزرگ کلیدی دیگر که در بایوزون SBZ3 ظاهر می‌شوند عبارتند از: *Miscellanites primitivus*، *Ranikothalia sahani*، *Ranikothalia tubleri*، *Ranikothalia sindensis*، *Glomalveolina primaeva*، *Glomalveolina telemetensis* مرز بین بایوزون‌های SBZ3 و SBZ4 با ظهور گونه‌های *Miscellanea miscella*، *Discocyclina ranikotensis* و *Daviesina langhami* مشخص، و ظهور گونه *Alveolina vredenburgi* به‌عنوان آغاز ائوسن پایینی (بایوزون SBZ5/SBZ6) در نظر گرفته شده است (Serra-kiel et al. 1998; Scheibner and Speijer 2008; Hottinger 1960) جمله *Discocyclina dispansa*، *Ranikothalia nuttalli* و *Assilina dandotica* شاخص اوایل ائوسن پایینی و آخرین حضور *Ranikothalia sahani*، *Ranikothalia sindensis* در بایوزون SBZ5/SBZ6 است. افضل و همکاران (Afzal et al. 2010) گونه‌های *Discocyclina dispansa* و *Discocyclina sella* را از بایوزون SBZ5 حوضه ایندوس پاکستان گزارش کرده‌اند در حالی که *Discocyclina sella* و *Discocyclina dispansa* در برش بررسی شده در بایوزون‌های SBZ5/SBZ6 برای اولین بار ظاهر می‌شود.

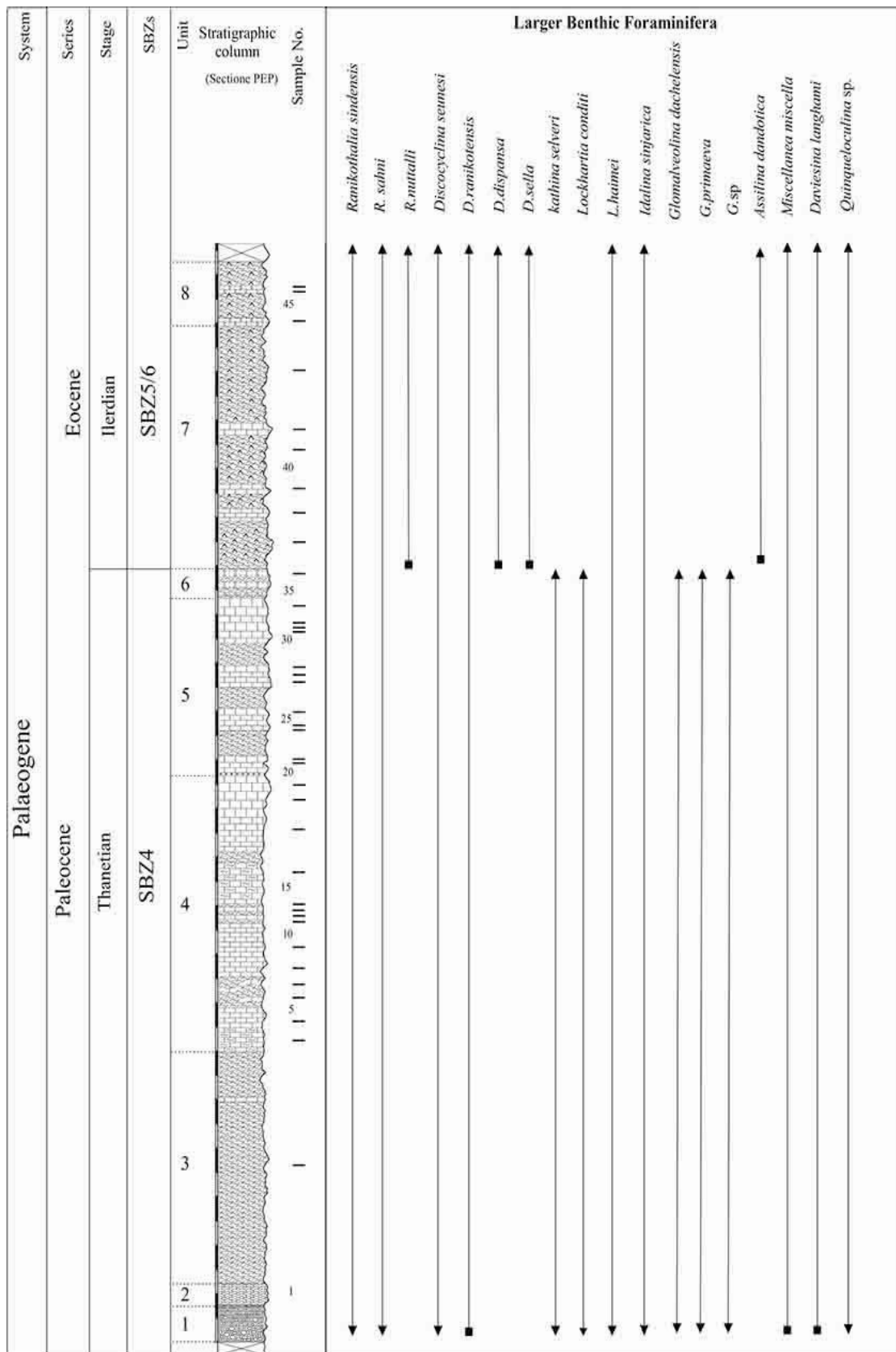
تکامل روزن‌داران کفزی بزرگ پالتوزن پایینی در اقیانوس تتیس شرقی

تکامل روزن‌داران کفزی بزرگ در طی پالتوزن پایینی در ابتدا با برگشت مجدد و طولانی مدت جوامع فونی، بعد از بحران مرز کرتاسه-پالتوسن مشخص می‌شود که منجر به انقراض ۸۳٪ از روزن‌داران کفزی بزرگ شده است (BouDagher-Fadel 2008) در این جا، بر اساس تجزیه و تحلیل چینه‌نگاری زیستی، الگوهای تکاملی بلندمدت روزن‌داران کفزی بزرگ در تتیس شرقی بررسی شده است بایوزون‌های SBZ1-SBZ2 با باقی ماندن تعداد کمی از روندهای تکاملی روزن‌داران کفزی بزرگ بعد از بحران مرز کرتاسه- پالتوسن معرفی می‌شوند و هم‌چنین تعدادی از روزن‌داران دارای پوسته کوچک و فاقد دوشکلی قابل شناسایی هستند. این بخش در حوضه ایندوس پاکستان با تعداد کمی از جنس‌های روتالیدی کوچک‌تر (*Rotalia*، *Laffitteina*) و میلیولیدا (*Idalina*) شناخته می‌شوند و جنس‌های *Ornatonion*، *Miscellanea*، *Bangiana* و *Lockhartia* وجود ندارند (Adams 1970; Kureshy 1978; Jauhri (1998; Jauhri and Agarwal 2001; Jauhri et al. 2006; Green et al. 2008; Mathur et al. 2009). بایوزون‌های SBZ3 و SBZ4 با افزایش تنوع ژنریکی و بازتاب زمانی که روزن‌داران کفزی بزرگ مورفولوژی‌های جدید را تجربه می‌کنند (Hottinger 2001; Scheibner and Speijer 2008a) قابل شناسایی است که در این حوضه با ظهور روندهای تاکسونومیکی جدید شامل جنس‌هایی از *Rothaliid* (*Lockhartia*، *Kathina*) *Miliolid* ها (*Triloculina*، *Quinqueloculina*)، *Pellatispirid* (*Miscellanea*) و *Alveolinid* ها (*Glomalveolina*) و *Nummulitid* ها (*Ranikothalia*، *Assilina* و *Operculina*) و *Discocyclinid* (*Discocyclina*) شروع می‌شود. این الگوی فونی با سایر قسمت‌های تتیس (Hottinger 1997, 1998; Jauhri 1998; Serra-Kiel et al. 1998;)

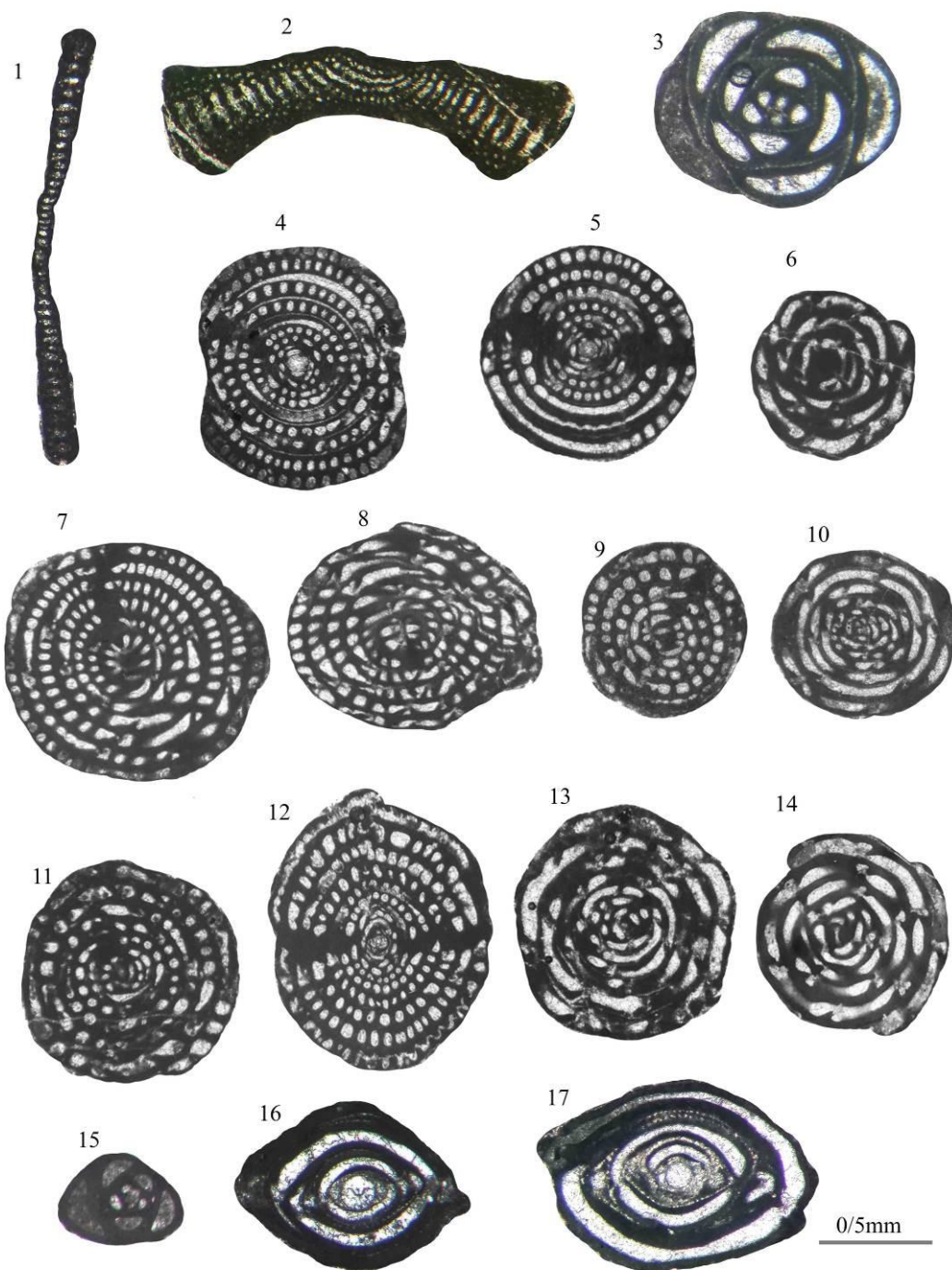
Jauhri and Agarwal 2001; Jauhri et al. 2006; Green et al. 2008; Scheibner and Speijer. 2008a, در بایوزون‌های SBZ5/6 سامان یافتن اجتماعات روزن‌دارانی، با تنوع گونه‌ای و برگشت مجدد روزن‌داران کفزی بزرگ با راهبرد K (تولید مثل کم و طول عمر زیاد) انجام شده است (Hottinger 1997, 2001).



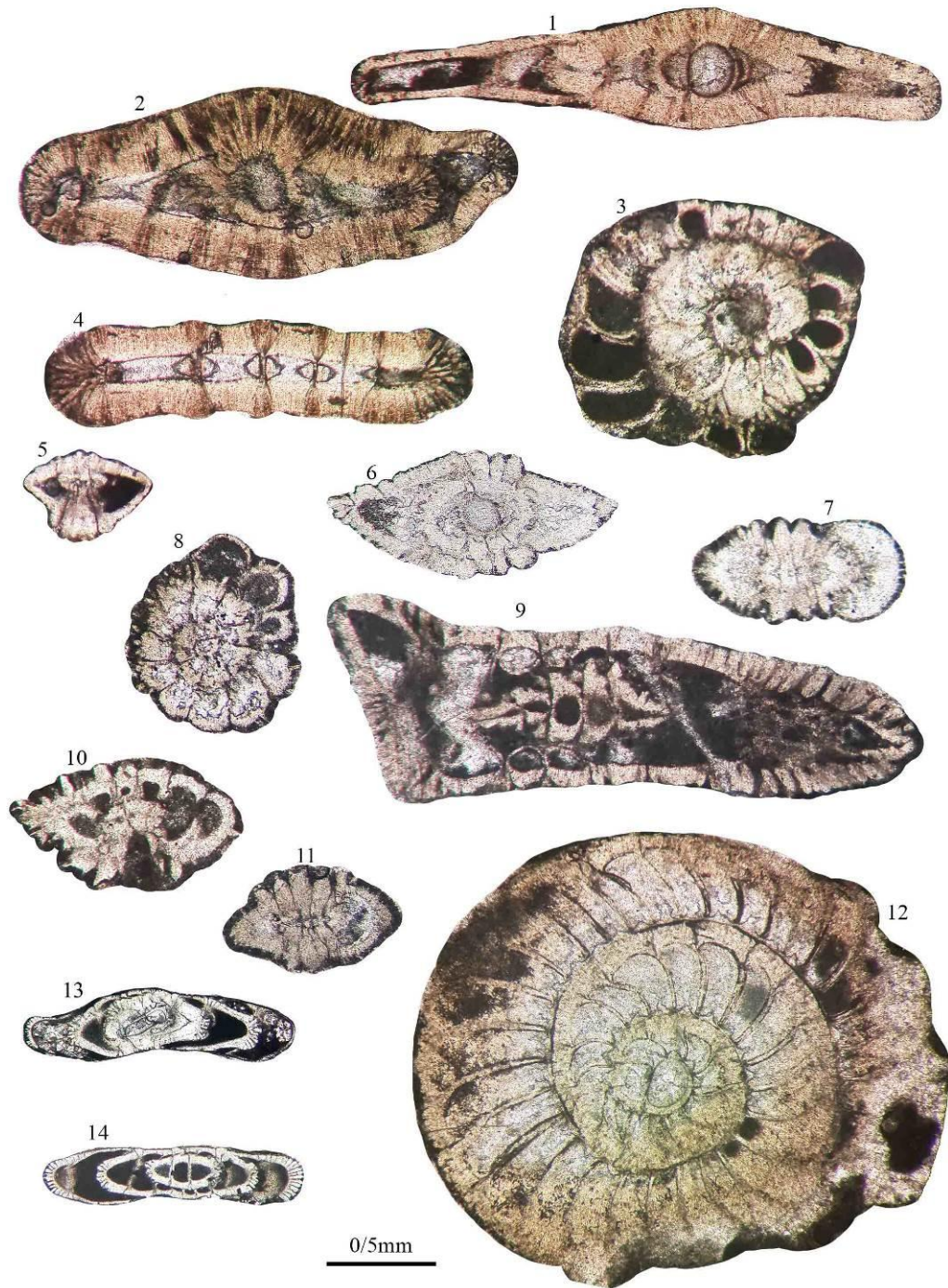
شکل ۵. سنگ چینه‌نگاری و دامنه زیست‌چینه‌نگاری روزن‌داران بنتیک بزرگ پالتوسن در برش چینه‌نگاری پدگی (PE)



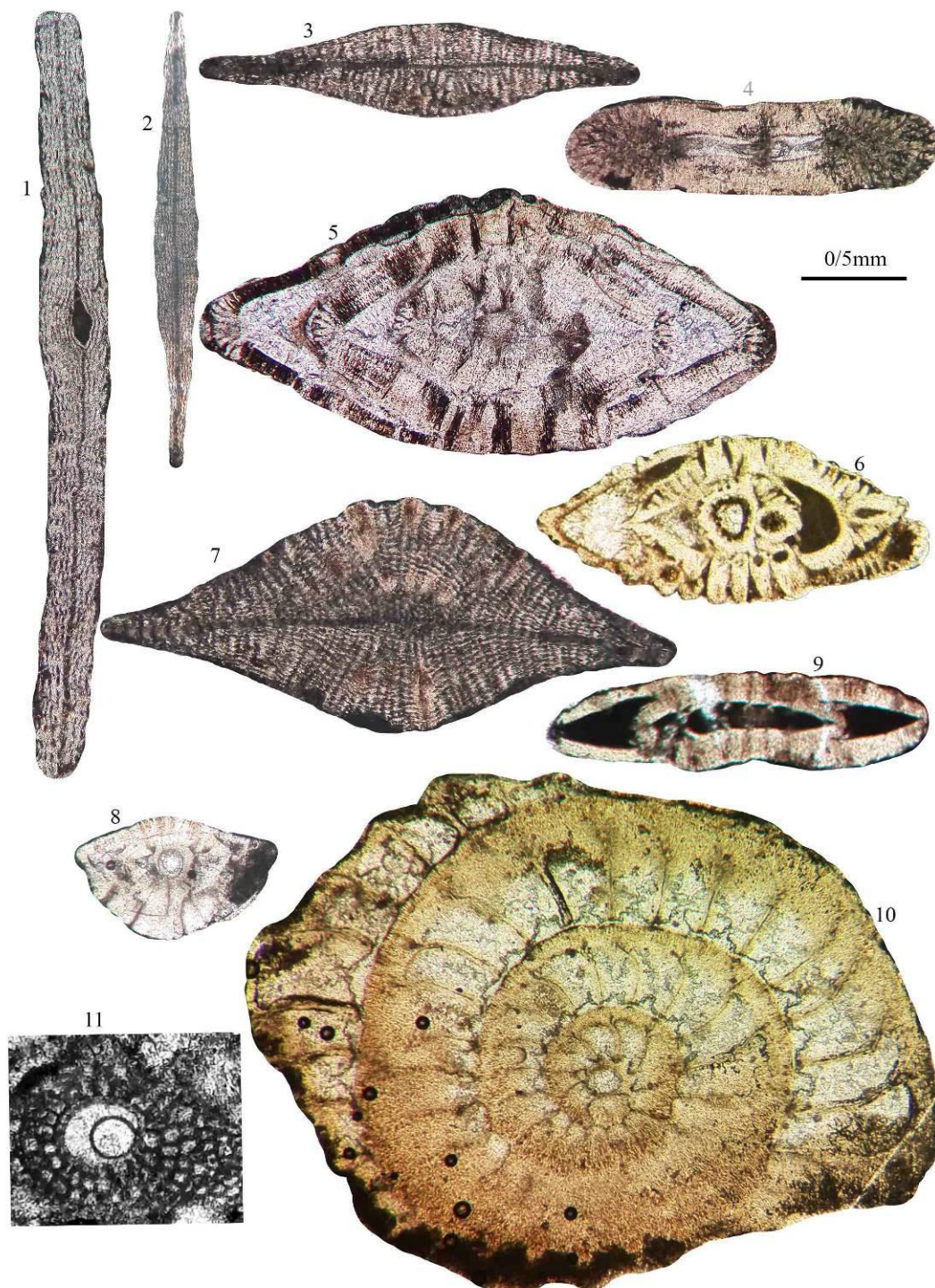
شکل ۶. سنگ چینه‌نگاری و دامنهٔ زیست‌چینه‌نگاری روزن‌داران کفزی بزرگ پالتوسن-اوسن در برش چینه‌نگاری پدگی (PEP) (برای راهنمای ستون به شکل ۵ مراجعه شود).



شکل ۷. روزن داران کفزی بزرگ پالتوسن بالایی برش پدگی: 1,2: *Vania anatolica* (SBZ3), 3: *Quinqueloculina*; 4,7: *Glomalveolina telemetensis* (SBZ3-6) sp.; 5,9,10: *Glomalveolina primaeva* (SBZ3-6); 6: *Glomalveolina dachelensis* (SBZ3,4); 8,14: *Glomalveolina primaeva ludwigi* (SBZ3); 12,15: *Glomalveolina primaeva ludwigi* (SBZ3); 16,17: *Glomalveolina sinjarica* (SBZ3-6); 15: *Quinqueloculina* sp. (SBZ3-6). (مقیاس برای تمامی تصاویر برابر است).



شکل ۸. روزن‌داران کفزی بزرگ پالئوسن بالایی - اوایل ائوسن پایینی برش پدگی: 1: *Ranikothalia sindensis*; 2, 4: *Ranikothalia sahani* (SBZ3-6); 3, 6: *Miscellanea juliettae* (SBZ3); 5: *Lockhartia conditi* (SBZ3-6); 7, 8: *Daviesina langhami primitivus* (SBZ3); 9, 12: *Daviesina langhami* (SBZ4-6); 10: *Lockhartia conditi* (SBZ3-6); 11: *Miscellanites minutus* (SBZ5/6); 13, 14: *Ranikothalia tubleri* (SBZ3) (مقیاس برای تمامی تصاویر برابر است)



شکل ۹. روزن داران کفزی بزرگ پالتوسن بالایی - اوایل ائوسن پایینی برش پدگی: 1: *Discocyclina sella* (SBZ5/6).
 2, 11: *Discocyclina ranikotensis* (SBZ5/6). 3: *Discocyclina seunesi* (SBZ3-4). 4, 5: *Ranikothalia nuttalli*.
 6, 10: *Discocyclina dispansa* (SBZ5/6). 8: *Kathina*. 8: *Miscellanea miscella* (SBZ4-5/6). 9: *Assilina dandotica* (SBZ5/6). (مقیاس برای تمامی تصاویر برابر است)

Miscellanid و Ranikothalid های اواخر پالئوسن بالایی (بایوزون SBZ4) به وسیله Nummulitid ها و Alveolinid های ائوسن پایینی جایگزین می‌شود که سبب غلبه اجتماعات روزن‌داران کفزی بزرگ در قلمرو تتیس غربی در مرز پالئوسن-ائوسن می‌شود (Scheibner et al. 2005; Scheibner and Speijer 2008) که این برگشت مجدد روزن‌داران بزرگ نامیده می‌شود (Orue-Etxebarria et al. 2001). با این حال، در برش بررسی شده (PEP)، مجموعه روزن‌داران کفزی بزرگ اوایل ائوسن پایینی (SBZ5/6) تحت غلبه جنس‌های Ranikothalia و Miscellanea بوده است، در حالی که روزن‌داران کفزی بزرگ جدیدی که در این فاصله زمانی در مکان‌های دیگر ظاهر شده‌اند، دیده نمی‌شود. جنس‌های Alveolina، Discocyclina، Assilina و Operculina کم‌تری دارند و Nummulites وجود ندارند. بعدها در ائوسن پایینی، تنوع تدریجی در جنس‌های Operculina و Discocyclina و Asillina به وجود آمد در حالی که Ranikothalia ناپدید شده و Miscellanea در پایان بایوزون SBZ5/6 از اهمیت آن کاسته شد. اجتماعات مشابه از روزن‌داران کفزی بزرگ در دیگر قسمت‌های تتیس شرقی، به‌ویژه هند و پاکستان (Jauhri 1971; 1998; Akhtar and Butt 20004; Jauhri Nagappa 1959; Hottinger and Agarwal 2001; Jauhri et al. 2006; Scheibner and Speijer 2008; Tewari et al. 2010) به ثبت رسیده است از این رو به نظر می‌رسد با توجه به شواهد به دست آمده مجموعه‌های روزن‌دارانی در تتیس شرقی نسبت به تتیس غربی متفاوت هستند.

نتیجه‌گیری

با توجه به بررسی‌های دقیق داده‌های زیست و سنگ چینه‌نگاری توالی پالئوسن بالایی-ائوسن پایینی در برش‌های پدگی (PE, PEP) نتایج زیر به دست آمده است:

روزن‌داران کفزی بزرگ در پالئوژن گسترش خوبی داشته‌اند. سراکیل و همکاران (Serra-Kiel et al. 1998) زون-های کفزی کم عمق (SBZ1-SBZ20) و یک طرح تطابقی از اجتماع پلاژیک و بنتیک تتیس ارائه دادند (SBZ) که بر اساس بررسی سیستماتیک روزن‌داران کفزی بزرگ ۱۲ جنس و ۲۴ گونه در فاصله پالئوسن بالایی-ائوسن پایینی شناسایی شده است، که شامل گونه‌های مختلفی از جنس‌های Ranikothalia، Discocyclina، Miscellanites، Kathina، Idalina، Assilina، Vania، Triloculina، Quinqueloculina، Lockhartia و Glomalveolina مشخص شد.

هم‌چنین با پژوهش‌های چینه‌نگاری زیستی طبق زون‌بندی سراکیل و همکاران (Serra-kiel et al. 1998)، ۴ بایوزون روزن‌دار کفزی کم عمق (SBZ3-SBZ6) معرفی شده است. که براساس محتوای فسیلی آنها سن برش مورد نظر پالئوسن بالایی-ائوسن پایینی (Thanetian- Early Ilerdian) پیشنهاد می‌شود. و حضور Ranikothalia و Discocyclina dispansa، Assilina dandotica با هم سن اوایل ائوسن را نشان می‌دهد. برش‌های بررسی شده از نظر زیست و سنگ چینه‌نگاری و سن (پالئوسن بالایی-ائوسن پایینی) قابل تطابق با سازندهای محلی پلنگ و چاه‌چوچو است.

جنس‌های Ranikothalia و Miscellanea در ائوسن پایینی برش پدگی قابل مقایسه با مجموعه‌های زیستی رمپ داخلی حوضه ایندوس است که در برگیرنده یک مجموعه مزوالیگوتروفیک و هم‌چنین جلبک‌های سبز داسی‌کلاداسه‌آ

وابسته به اجتماعات ریفی مرجانی است. این مجموعه‌ی زیستی در حقیقت، نشان‌گر پاسخ زیستی مناسب گرم شدن کوتاه مدت در پالئوسن بالایی است. که، بیان‌گر تشابه آنها با مجموعه‌ی روزن‌داران تتیس شرقی است.

در تتیس شرقی شکل‌های روزن‌داران اوایل ائوسن پایینی مانند Nummulites وجود ندارند و برخی از اشکال به صورت نادر یافت می‌شوند (Alveolina, Orbitolites) در طی اوایل ائوسن پایینی (بایوزون SBZ5/SBZ6) در واکنش به نوسانات آب و هوایی حادثه حداکثر گرمایش مرز پالئوسن- ائوسن تغییرات عمده فونی روزن‌داران کفزی بزرگ و مرجان‌ها در عرض‌های جغرافیایی میانی و پایینی رخ می‌دهد. با توجه به وجود نداشتن فرم‌های کفزی اوایل ائوسن پایینی مثل Nummulites, Alveolina و Orbitolites در توالی بررسی شده می‌توان چنین نتیجه‌گیری کرد که تشابه زیادی بین مجموعه‌های روزن‌داران این برش با سایر برش‌های تتیس شرقی وجود دارد. در برخی از نواحی شرقی و هم‌چنین برش بررسی شده روزن‌داران کفزی بزرگ از قبیل Ranikothalia و Miscellanea در پلتفرم‌های کربناته اوایل ائوسن پیشین غالب هستند، در حالی که Alveolina کم اهمیت شده و Nummulites دیده نمی‌شود در سایر بخش‌های تتیس Ranikothalia و Miscellanea در ورای مرز پالئوسن- ائوسن حضور داشته اما در اجتماعات روزن‌دارانی تحت غلبه Alveolina و Nummulites فراوانی کم‌تری داشته و از متشکله‌هایی فرعی محسوب می‌شوند، برای مثال جنس Miscellanea همراه با Alveolina vredenburgi در ترکیه، ایران، افغانستان، عراق و جنس Ranikothalia همرا با Discocyclina در Northern Calcareous Alps گزارش شده است. این عدم وجود Nummulites و کمبود Alveolina در اوایل ائوسن تتیس شرقی و تتیس غربی باشد، این حادثه ممکن است که نوع روزن‌داران کفزی بزرگ در تتیس شرقی را کاهش داده و فرصت برای بقا انواع Ranikothalia و Miscellanea را در اوایل ائوسن افزایش دهد. حادثه حداکثر گرمایش مرز پالئوسن- ائوسن روی روزن‌داران کفزی بزرگ از قبیل Ranikothalia و Miscellanea تأثیر جدی و یکنواخت نداشته است و از این‌رو تاکسون‌های مورد نظر با توجه به شرایط پالئوآکولوژیکی محلی، رقابت اکولوژیکی و فضایی بین تاکسون‌ها و تکتونیک محلی، نقش مهمی را در گسترش و ساماندهی و برگشت مجدد روزن‌داران کفزی بزرگ بازی می‌کنند.

منابع

۱. بابازاده س.، ا. "آنالیز پالئوآکولوژی فرامینیفرای کفزی بزرگ ائوسن زیرین در منطقه روبیات جنوب بیرجند"، چهارمین همایش ملی زمین‌شناسی، دانشگاه پیام نور (۱۳۸۹).
۲. بابازاده س.، ا.، حسینی س.، ز.، رحیمی‌زاده ن.، "تجزیه و تحلیل آماری انتشار فرامینیفرای کفزی ائوسن زیرین در منطقه گرنگ، در شرق خور- غرب خوسف (خراسان جنوبی)"، اولین همایش زمین‌شناسی فلات ایران، دانشگاه تحصیلات تکمیلی، صنعتی و فناوری پیشرفته کرمان (۱۳۹۱).
۳. رئیس‌السادات س.، ن.، شکری م. ح.، "چینه‌شناسی نهشته‌های پالئوسن- ائوسن در منطقه بیرجند"، چهاردهمین همایش زمین‌شناسی ایران (۱۳۸۹).
۴. شاعری خیبری ف.، امیرشاه کرمی م.، ا.، خزاعی ا. ر. میراب شبستری غ. ر.، "بایوزوناسیون واحدهای کربناته پالئوژن ناودیس چینگ در (غرب بیرجند) بر مبنای فرامینیفرای کفزی"، شانزدهمین همایش انجمن زمین‌شناسی ایران، دانشگاه شیراز (۱۳۹۱).

۵. معزی‌نسب ر.، گرگیچ م. ن.، بخشی‌محبی م. ر.، "دیرینه‌شناسی سیستماتیک آلوئولینیدهای سازند قرمز قاره‌ای- آواری حرکم، جنوب‌خاوری ایران، شمال‌زاهدان، برش حرکم"، علوم زمین سازمان زمین‌شناسی کشور ۲۸ (۱۳۹۷) ۲۳۶-۲۲۹.
6. Accordi G., Carbone F., Pignatti J. S., "Depositional history of a Paleogene carbonate ramp (Western Cephalonia, Ionian Islands, Greece)." *Geologica Romana*, 34 (1999) 131-205.
7. Adams C. G., "A reconsideration of the East Indian letter classification of the Tertiary", *Bulletin of the British Museum (Natural History) Geology*, 19 (1970) 1-137.
8. Afzal J., Williams M., Leng M. J., Aldridge R. J., Stephenson M. H., "Evolution of Paleocene to Early Eocene larger benthic foraminifer assemblages of the Indus Basin, Pakistan" *Lethaia*, 44 (2010) 1-20.
9. Aguirre J., Baceta J. I., Braga J. C., "Recovery of marine primary producers after the Cretaceous-Tertiary mass extinction: Paleocene calcareous red algae from the Iberian Peninsula", *Palaeogeography, Palaeoclimatology, Palaeoecology*, 249 (2007) 393-411.
10. Akhtar M., Butt A. A., "Lower Tertiary biostratigraphy of the Kala Chitta Range, northern Pakistan", *Revue de Paléobiologie, Genève*, 18 (1999) 123-146.
11. Akhtar M., Butt A. A., "Significance of *Miscellanea miscella* (D' Archiac & Haime) in the Early Palaeogene stratigraphy of Pakistan", *Revue de Paléobiologie, Genève*, 19 (2000) 123-135.
12. Aubry M. P., Ouda K., "Introduction to the upper Paleocene-lower Eocene of the upper Nile valley. IN: Ouda K., Aubry M.P. (eds) Part 1. Stratigraphy, iiiiv", *Micropaleontology Press, New York* (2003).
13. Berggren W. A., Pearson P. N., "A revised tropical to subtropical Palaeogene planktonic foraminiferal zonation", *Journal of Foraminiferal Research*, 35(2005) 279-298.
14. Bandel K., Kuss J., "Depositional environment of the pre-rift sediments. Galala Heights (Gulf of Suez, Egypt)", *Berliner geowissenschaftliche Abhandlungen (A)* 78 (1987) 1-48.
15. BouDagher-Fadel M. K., "The Cenozoic larger foraminifera: The Palaeogene. in: BouDagher-Fadel, M. K. (ed.) *Evolution and geological significance of larger benthic foraminifera (Developments in Palaeontology and Stratigraphy)*", Elsevier, Amsterdam, 21 (2008) 297- 418.
16. BouDagher-Fade M. K., David Price G., Xiumian Hu., Juan Li X. H., "late Cretaceous to Early Paleogene foraminiferal biozones in the Tibetan Himalayas, and a pan-Tethyan foraminiferal correlation scheme" *Stratigraphy*, 12, 1 (2015) 7-91.
17. Bowen G. J., Clyde W. C., Koch P. L., Ting S. Y., Alroy J., "Mammalian dispersal at the Paleocene/Eocene boundary", *Science*, 295 (2002) 2062-65.

18. Butt A. A., "Ranikothalia sindensis Zone in late Paleocene biostratigraphy" *Micropaleontology*, 37 (1991) 77-85.
19. Butterlin J., Fourcade E., "Extension stratigraphique et distribution géographique du genre *Lockhartia* Davies, 1932 (foraminifère, rotaliidae)", *Revue de Micropaléontologie*, 31 (1989) 225-242.
20. Chaproniere G. C. H., "The Neogene larger foraminiferal sequence in the Australian and New Zealand regions, and its relevance to the East Indies letter stage classification", *Palaeogeography Palaeoclimatology Palaeoecology*, 46 (1984) 25-35.
21. Chen Z., Ding Z., Yang S., Zhang C., Wang X., "Increased precipitation and weathering across the Paleocene-Eocene Thermal Maximum in central China" *Geochemistry Geophysics Geosystems*, 17 (2016) 2286-2297.
22. Cherchi A., Schroeder R., "Preliminary report on the keramosphaerinid foraminifers from the Thanetian (Paleocene) of South Tibet", *Zeitschrift für geologische Wissenschaften*, 25(1997) 643-647.
23. Currano E. D., Wilf P., Wing S. L., Labandeira C. C., Lovelock E. C., Royer D. L., "Sharply increased insect herbivory during the Paleocene-Eocene thermal maximum" *Proc. Natl. Acad. Sci. USA* 105 (2008) 1960-64.
24. Cramer B. S., Kent D. V., "Bolide summer: The Paleocene/Eocene thermal maximum as a response to an extraterrestrial trigger. *Palaeogeography, Palaeoclimatology, Palaeoecology*, 224 (1-3) (2005) 144-166.
25. Dickens G. R., Oneil J. R., Rea D. K., Owen R. M., "Dissociation of oceanic methane hydrate as a cause of the carbon-isotope excursion at the end of the Paleocene" *Paleoceanography*, 10 (1997) 965-71.
26. Drobne K., Hottinger L., "Broeckinella und Saudia, Foraminiferida aus dem nordwestlichen Teil Jugoslawiens, ihre Morphologie und ihre stratigraphische Verbreitung. *Razprave, (4 razred)*", *Slovenska Akademija Znanosti in Umetnosti*, 14 (1971) 213-237.
27. Drobne K., Čosović V., Robinson E., "Larger miliolids of the late Cretaceous and Palaeogene seen through space and time" *Geologija*, 45 (2002) 359-366.
28. Dunkley Jones T., Lunt D. J., Schmidt D. N., Ridgwell A., Sluijs A., Valdes P. J. and Maslin M. A., "Climate model and proxy data constraints on ocean warming across the Paleocene-Eocene Thermal Maximum" *Earth-Science Reviews*, 125 (2013) 123-145.
29. Eftekharneshad j., "Geological map of Zahedan, Scale 1:250000, Geological Survey and Mineral Exploration of Iran" (1993).

30. Gibbs S. J., Bown P. R., Sessa J. A., Bralower T. J., Wilson P. A., "Nannoplankton extinction and origination across the Paleocene-Eocene Thermal Maximum" *Science*, 314 (2006) 1770-1773.
31. Green O. R., Searle M. P., Corfield R. I., Corfield R. M., "Cretaceous-Tertiary Carbonate platform evolution and the age of the India-Asia collision along the Ladakh Himalaya (Northwest India)" *The Journal of Geology*, 116 (2008) 331-353.
32. Grimsdale T. F., "Cretaceous and Tertiary foraminifera from the Middle East. *Bulletin of the British Museum (Natural History)*" *Geology*, 1 (1952) 221-248.
33. Harrington G. J., Jaramillo C. A., "Paratropical floral extinction in the Late Palaeocene-Early Eocene" *Journal of the Geological Society, London*, 164 (2007) 323-332.
34. Hallock P., "Fluctuation in the trophic resource continuum: a factor in global diversity cycles?" *Paleoceanography*, 2 (1987) 457-471.
35. Hallock P., "Interoceanic differences in Foraminifera with symbiotic algae: a result of nutrient supplies?" *Proceedings Sixth International Coral Reef Symposium Townsville, Australia*, 3 (1988) 251-255.
36. Hay W. W., DeConto R. M., Wold C. N., Wilson K. M., Voigt S., Schulz M., Rossby-Wold A., Dullo W. Chr., Ronov A.B. and Balukhovskiy A., "An alternative global Cretaceous paleogeography", in: Barrera E., Johnson C. (Eds.), *The Evolution of Cretaceous Ocean/Climate Systems*, Geological Society of America Special Paper, 332 (1999) 1-47.
37. Hohenegger J., "Depth coenoclines and environmental considerations of western pacific larger foraminifera", *Journal of Foraminiferal Research*, 34 (2004) 9-33.
38. Hottinger L., "Recherches sur les Alvéolines du Paléocène et de l'Eocène", *Schweizerische Palaeontologische Abhandlungen*, 75/76 (1960) 1-243.
39. Hottinger L., "Shallow benthic foraminiferal assemblages as signals for depth of their deposition and their limitations", *Bulletin de la Société Géologique de France*, 168 (1997) 491-505.
40. Hottinger L., "Shallow benthic foraminifera at the Paleocene-Eocene boundary", *Strata Serie*, 19 (1998) 61-64.
41. Hottinger L., "Learning from the past, in Levi-Montalcini, R., ed., *Frontiers of life*", London and San Diego, Academic Press, 4 (2001) 449-477.
42. Hottinger L., "The Paleocene and earliest Eocene foraminiferal family *Miscellaneidae*: neither nummulitids nor rotaliids" *Carnets de Géologie*, 6 (2009) 1-41.
43. Hottinger L., "Paleogene larger Rotaliid Foraminifera from the Western and Central Neotethys", Springer, Berlin, (2014) 191.

44. Hottinger L., Drobne K., "Tertiary Alveolinids: problems linked to the conception of species. *Revue Palaeobiologie (Benthos)*, 86) 2 (1988) 665-681.
45. Hottinger L., Lehmann R., Schaub H., "Donne ´es actuelles sur la biostratigraphie de Nummulitique Mediterrane ´en", *Me ´moires du Bureau de Recherches ge ´ologiques et minie`res*, 28 (1964) 611-652.
46. Huang C. Y., Yen Y., Liew P. M., He D. J., Chi W. R., Wu M. S., Zhao M., "Significance of indigenous Eocene larger foraminifera *Discocyclina dispansa* in Western Foothills, Central Taiwan: A Paleogene marine rift basin in Chinese continental margin", *Journal of Asian Earth Sciences*, 62 (2013) 425-437.
47. Inan N., Tasli K., Inan S., "Laffiteina from the Maastrichtian-Paleocene shallow marine carbonate successions of the Eastern Pontides (NE Turkey), biozonation and microfacies", *Journal of Asian Earth Sciences*, 25 (2005) 367-378.
48. Jauhri A. K., "Miscellanea Pfender, 1935 (foraminiferida) from the south Shillong region, N.E. India", *Journal of the Palaeontological Society of India*, 43 (1998) 73-83.
49. Jauhri A. K., Agarwal K. K., "Early Palaeogene in the south Shillong Plateau, NE India: local biostratigraphic signals of global tectonic and oceanic changes", *Palaeogeography, Palaeoclimatology, Palaeoecology*, 168 (2001) 187-203.
50. Jauhri A. K., Misra P. K., Kishore S., Singh S. K., "Larger foraminiferal and calcareous algal facies in the Lakadong Formation of the South Shillong Plateau, NE India", *Journal of the Palaeontological Society of India*, 51 (2006) 51-61.
51. Kelly D. C., Bralower T. J., Zachos J. C., Premoli-Silva I., Thomas E., "Rapid diversification of planktonic foraminifera in the tropical Pacific (ODP Site 865) during the late Paleocene thermal maximum", *Geology*, 24 (1996) 423-426.
52. Kutz S. J., Hoberg E. P., Polley L. A., "new lungworm in muskoxen: an exploration in Arctic parasitology" *Trends Parasitol*, 17 (2001), 276-280.
53. Leppig U., "Structural analysis and taxonomic revision of *Miscellanea*, Paleocene, larger foraminifera", *Eclogae Geologicae Helvetiae*, 81 (1988) 689-721.
54. Less Gy., Özcan E., Báldi-Beke M., Kollányi K., "Thanetian and Early Ypresian Orthophragmines (Foraminifera: Discocyclinidae and Orbitoclypeidae) from the Central Western Tethys (Turkey, Italy and Bulgaria) and their Revised Taxonomy and Biostratigraphy" *Rivista Italiana di Paleontologia e Stratigrafia*, 113 (2007) 419-448.
55. Mathur N. S., Juyal K. P., Kumar K., "Larger foraminiferal biostratigraphy of lower Palaeogene successions of Zaskar Tethyan and Indus-Tsangpo Suture Zones, Ladakh, India in the light of additional data", *Himalayan Geology*, 30 (2009) 45-68.

56. McInerney F. A., Wing S. L., "The Paleocene-Eocene thermal maximum: A perturbation of carbon cycle, climate, and biosphere with implications for the future", *Annual Review of Earth and Planetary Sciences*, 39 (2011) 489-516.
57. Nagappa Y., "Note on operculinoids Hanzawa 1935", *Palaeontology*, 2 (1959) 21-23.
58. Nekola J. C., White P. S., "The distance decay of similarity in biogeography and ecology", *Journal of Biogeography*, 26 (1999) 867-878.
59. Newberry D., Cambell E. F. J., Proctor J and Still M. J., "Primary lowland dipterocarp forest at Danum Valley, Sabah, Malaysia. Species composition and patterns in the understory", *Vegetatio*, 122 (1996) 193-220.
60. Orue-Etxebarria X., Pujalte V., Bernaola G., Apellaniz E., Baceta J. I., Payros A., Nunez-Betelu K., Serra-Kiel J and Tosquella J., "Did the late Paleocene Thermal Maximum affect the evolution of larger foraminifers? Evidence from calcareous plankton of the Campo Section (Pyrenees, Spain)", *Marine Micropaleontology*, 41 (2001) 45-71.
61. Özgen N., Akyazi M., "Padriciano (Italya), Sopada (Slovenya) ve Bati Pontid (Türkiye) Tanesiyen 'inin bentik foraminifer topluluğu", *yerbilimleri*, 23 (2001) 87-98.
62. Özgen-Erdem N., Inan N., Agyazi M., Tunoglu C., "Benthonic foraminiferal assemblages and microfacies analysis of Paleocene-Eocene carbonate rocks in the Kastamonu region, Northern Turkey", *Journal of Asian Earth Sciences*, 25 (2005) 403-417.
63. Papazzoni C. A., Čosović V., Briguglio A., Drobne K., "Towards a calibrated larger foraminifera biostratigraphic zonation: Celebrating 18 years of the application of shallow benthic zones", *Palaios* (2017) 32, 1-5.
64. Pagani M., Liu Z., LaRiviera J., Ravelo A. C., "An ancient carbon mystery", *Science*, 314 (2006) 1556-1557.
65. Pignatti J., Di Carlo M., Benedetti A., Bottino C., Briguglio A., Falconi M., Matteucci R., Perugini G., Ragusa M., "SBZ 2-6 larger foraminiferal assemblages from the Apulian and Pre-Apulian Domains", *Atti del Museo civico di storia naturale di Trieste*, 53 (2008) 131-146.
66. Pak D. K., Miller K. G., "Paleocene to Eocene benthic foraminiferal isotopes and assemblages: implications for deep water circulation", *Paleoceanography*, 7 (1992) 405-422.
67. Pujalte V., Baceta J. I., Schmitz B., Orue-Etxebarria X., Payros A., Bernaola G., Apellaniz E., Caballero F., Robador A., Serra-Kiel J., Tosquella J., "Redefinition of Ilerdian Stage (Early Eocene)" *Geologica Acta*, 7 (2009) 177-194.
68. Racey A., "Lithostratigraphy and larger foraminiferal (Nummulitid) biostratigraphy of the Tertiary of northern Oman", *Micropaleontology*, 41 (1995) 1-123.

69. Rahaghi A., "Paleogene biostratigraphy of some parts of Iran", National Iranian Oil Company, Geological Laboratories, Teheran, Publication 7 (1978) 82.
70. Rahaghi A., "Stratigraphy and faunal assemblage of Paleocene-Lower Eocene in Iran", National Iranian Oil Company, Geological Laboratories, Teheran, Publication, 10 (1983) 73.
71. Reichel M., "Etude sur les Alvéolines. Premier fascicule", Mémoires de la Société paléontologique suisse, 57 (1936) 1-93.
72. Renema W., Troelstra S. R., "Larger foraminifera distribution on a mesotrophic carbonate shelf in SW Sulawesi (Indonesia)", Palaeogeography, Palaeoclimatology, Palaeoecology, 175 (2001) 125-147.
73. Samanta B. K., "Taxonomy and stratigraphy of the Indian species of Discocyclina (foraminifera)", Geological Magazine, 106 (1969) 115-129.
74. Scheibner C., Speijer R. P., "late Paleocene-Early Eocene Tethyan carbonate platform evolution -A response to long- and short-term paleoclimatic change" Earth-Science Reviews, 90 (2008) 71-102.
75. Scheibner C., Speijer R. P., "Recalibration of the Tethyan shallow-benthic zonation Across the Paleocene-Eocene boundary; the Egyptian Record", Geologica Acta, 7 (2009) 195-214.
76. Schaub H., "Nummulites et Assilines de la Téthys paléogène. Taxonomie, phylogénèse et biostratigraphie", Schweizerische Palaeontologische Abhandlungen 104/105/106 (1981) 1-238.
77. Schmitz B., Pujalte V., "Abrupt increase in extreme seasonal precipitation at the Paleocene-Eocene boundary", Geology, 35 (2007), 215-218.
78. Secord R., Bloch J. I., Chester S. G. B., Boyer D. M., Wood A. R., Wing S. L., Kraus M. J., McInerney F.A., Krigbaum J., "Evolution of the earliest horses driven by climate change in the Paleocene-Eocene thermal maximum", Science, 335 (2012) 959-962.
79. Serra-Kiel J., Hottinger L., Caus E., Drobne K., Ferrandez C., Jauhri A. K., Less G., Pavlovec R., Pignatti J., Samsó J. M., "Larger foraminiferal biostratigraphy of the Tethyan Paleocene and Eocene", Bulletin de la Société Géologique de France, 169 (1998) 281-299.
80. Sengor A. M. C., Altiner D., Cin A., Ustaomer T. and Hsu K. J., "The origin and assembly of the Tethysi de orogenic collage at the expense of Gondwana Land in: Audley-Charles, M. G., Hallam A. (Eds), Gondwana and Tethys, Special Publication", Geological Society, London, 37 (1988) 119-181.
81. Sirel E., "Polatli (GB Ankara) güneyinde bulunan Alveolina, Nummulites, Ranikothalia ve Assilina cinslerinin sistematik incelemeleri", Türkiye Jeoloji Kurumu Bülteni, 19 (1976) 89-102.

82. Sirel E., "The species of *Miscellanea* Pfender, 1935 (Foraminiferida) in the Thanetian-Ilerdian sediments of Turkey", *Revue de Paléobiologie*, Genève, 16 (1997) 77-99.
83. Sirel E., "Foraminiferal description and biostratigraphy of the Paleocene-lower Eocene shallow-water limestones and discussion on the Cretaceous-Tertiary boundary in Turkey. General directorate of the mineral research and exploration", Ankara, Monograph Series, 2 (1998) 117.
84. Sirel E., Deveciler A., "Diagnostic structural elements of *Ranikothalia* Caudri and redescription of its six species from Thanetian-Ilerdian of Turkey", *Journal of the Palaeontological Society of India*, 63, 1 (2018) 19-36 .
85. Sluijs A., Brinkhuis H., Schouten S., Bohaty S. M., John C. M., Zachos J. C., Reichart G. J., Crouch E. M. and Dickens G. R., "Environmental precursors to rapid light carbon injection at the Palaeocene/Eocene boundary", *Nature*, 450 (2007) 1218-1221
86. Speijer R. P., Schmitz B., van der Zwaan G. J., "Benthic foraminiferal extinction and repopulation in response to latest Paleocene Tethyan anoxia", *Geology*, 25 (1997) 683-686.
87. Stocklin J., "Structural history and tectonics of Iran: a review", *American Association of Petroleum Geologists Bulletin*, 52 (1968) 1229-1258.
88. Tewari V. C., Kumar K., Lokho K., Siddaiah N. S., "Lakadong limestone: Paleocene-Eocene boundary carbonates sedimentation in Meghalaya, northeastern India", *Current Science*, 98 (2010) 88-95.
89. Thomas E., Shackleton N. J., "The Paleocene-Eocene benthic foraminiferal extinction and stable isotope anomalies, in Knox, R.W.O'B., Corfield, R. M., and Dunay, R. E., eds., *Correlation of the Early Paleogene in Northwest Europe*", London, Geological Society London Special Publication 101 (1996) 401-441.
90. Tirrul R., Bell I. R., Griffis R. J., Camp V. E., "The Sistan suture zone of eastern Iran", *Geological Society America Bulletin*, 94 (1983) 134-150.
91. Tosquella J., Serra-Kiel J., "Los nummulítidos (*Nummulites* y *Assilina*) del Paleoceno Superior-Eoceno Inferior de la Cuenca Pirenaica: Sistemática", *Acta Geológica Hispánica*, 31 (1998) 37-159.
92. Van der Vlerk I. M., Umbgrove J. H. L., "Tertiaire gidsforaminiferen uit Nederlandsch Oost-Indie", *Wetenschappelijke Mededeelingen, Dienst Mijnbouw Bandoeng*, 6 (1927) 1-31.
93. Weiss W., "Age assignments of larger foraminiferal assemblages of Maastrichtian to Eocene age in northern Pakistan", *Zitteliana*, 20 (1993) 223-252.
94. White M. R., "On species identification in the foraminiferal genus *Alveolina* (late Paleocene-Middle Eocene)", *Journal of Foraminiferal Research*, 22 (1992) 52-70.

95. Zachos J. C., Wara M. W., Bohaty S., Delaney M. L., Petrizzo M. R., Brill A., Bralower T. J. and Premoli-Silva I., "A transient rise in tropical sea surface temperature during the Paleocene-Eocene Thermal Maximum", *Science*, 302 (2003) 1551-1554.
96. Zamagni J., Mutti M., Košir A., "Evolution of shallow benthic communities during the late Paleocene-earliest Eocene transition in the Northern Tethys (SW Slovenia)" *Facies*, 54, (2008) 25-43.
97. Zamagni J., "Responses of a shallow-water ecosystem to the Early Palaeogene greenhouse environmental conditions", PhD thesis, University of Potsdam, Germany (2009) 1-109.
98. Zamagni J., Mutti M., Ballato P., Košir A., "The Paleocene-Eocene thermal maximum (PETM) in shallow-marine successions of the Adriatic carbonate platform (SW Slovenia)", *Geological Society of America Bulletin*, 124 (2012) 1071-1086.
99. Zhang Q., Willems H., Ding L., "Evolution of the Paleocene–Early Eocene larger benthic foraminifera in the Tethyan Himalaya of Tibet, China", *International Journal of Earth Sciences*, 102 (2013), 1427-1445.
100. Zhang Q., Willems H., Ding L., Xu X., "Response of larger benthic foraminifera to the Paleocene-Eocene thermal maximum and the position of the Paleocene/Eocene boundary in the Tethyan shallow benthic zones: Evidence from south Tibet", *Geological Society of America Bulletin*, 131 (1-2) (2018) 84-98.